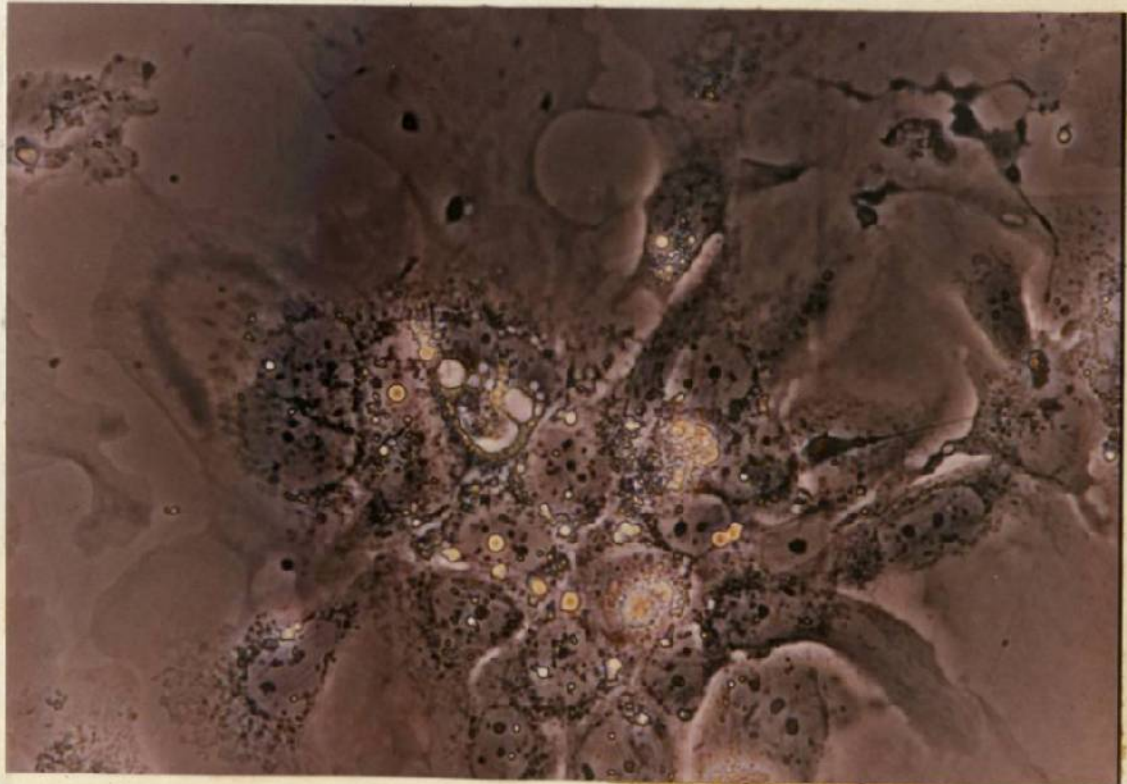


**Fig. 45 Carcinoma pulmonar de células escamosas SK-Mes-1.
Control.**



**Fig. 45a Carcinoma pulmonar de células escamosas SK-Mes-1.
Mitomicina 2 mcgr/ml.**

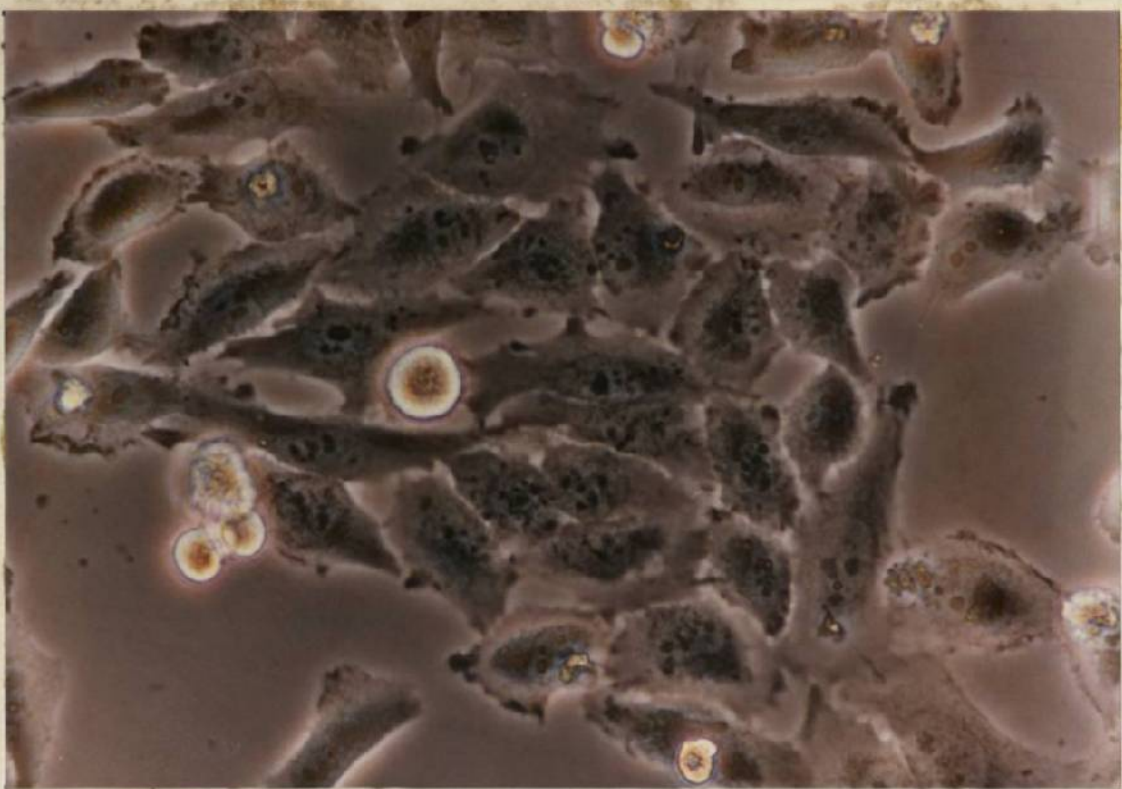


Fig. 46' Células de Pulmón. Control

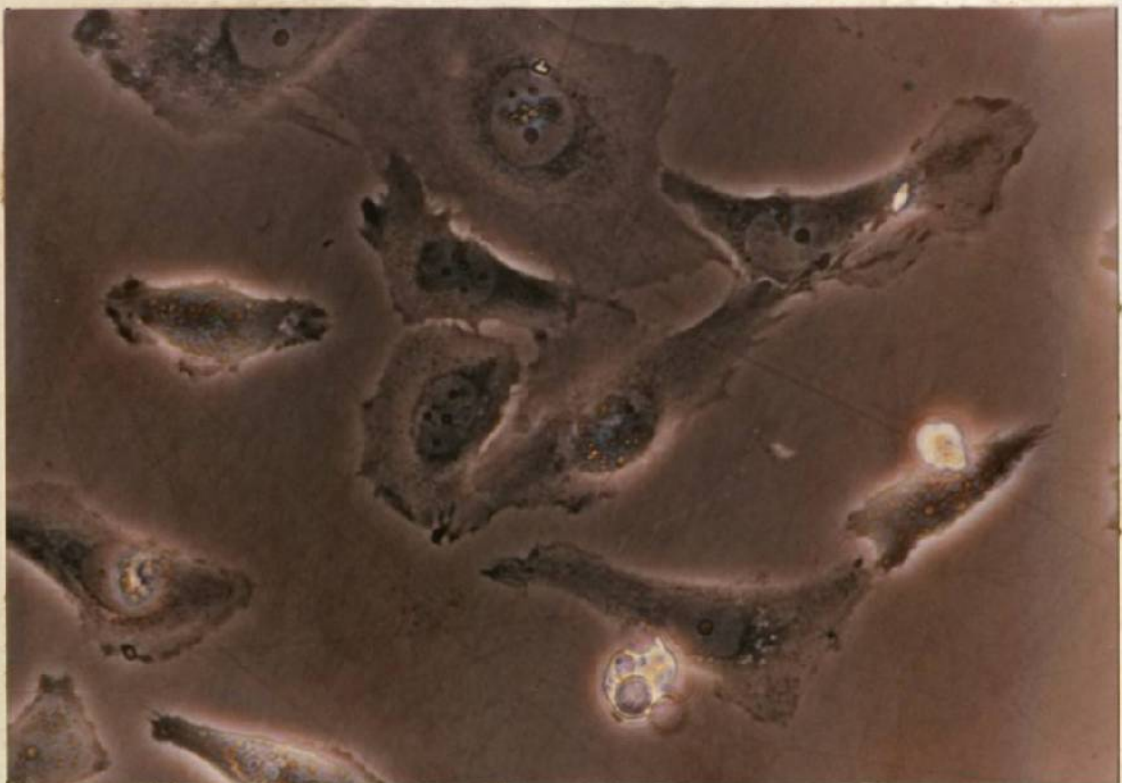


Fig. 46a' Células de Pulmón. Mitomicina 2 mcgr/ml.

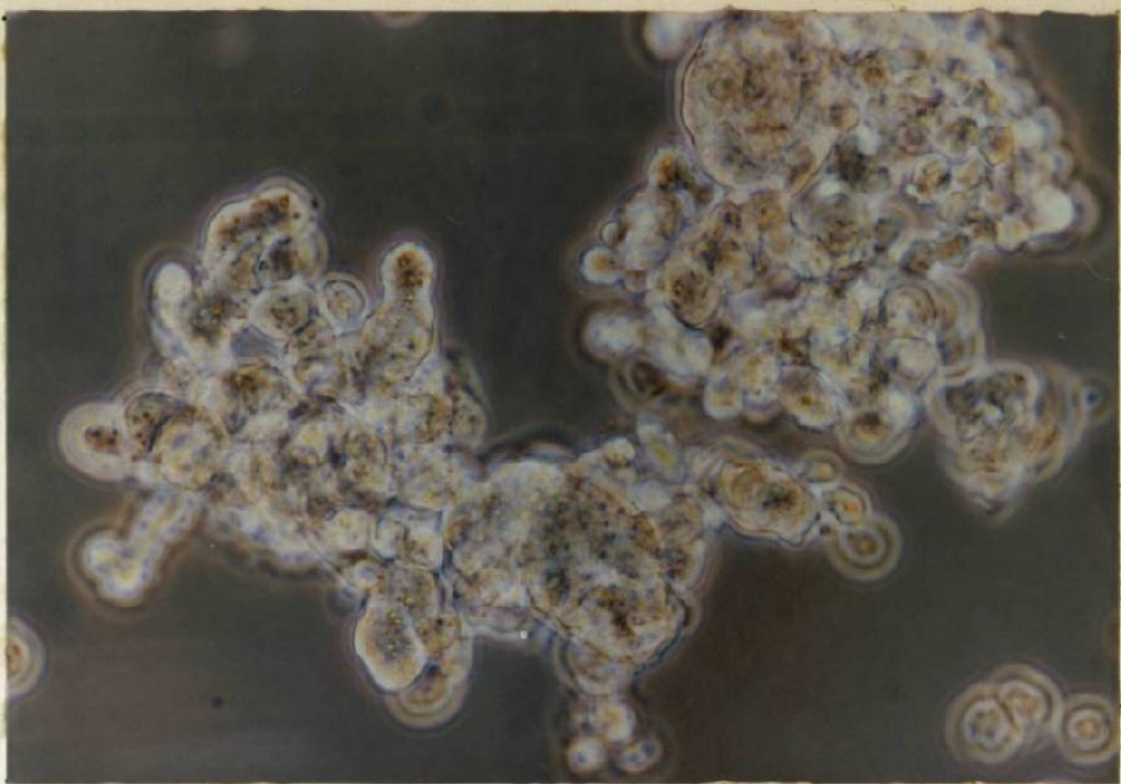


Fig. 46 Carcinoma pulmonar de células pequeñas NCI-H69.
Control.

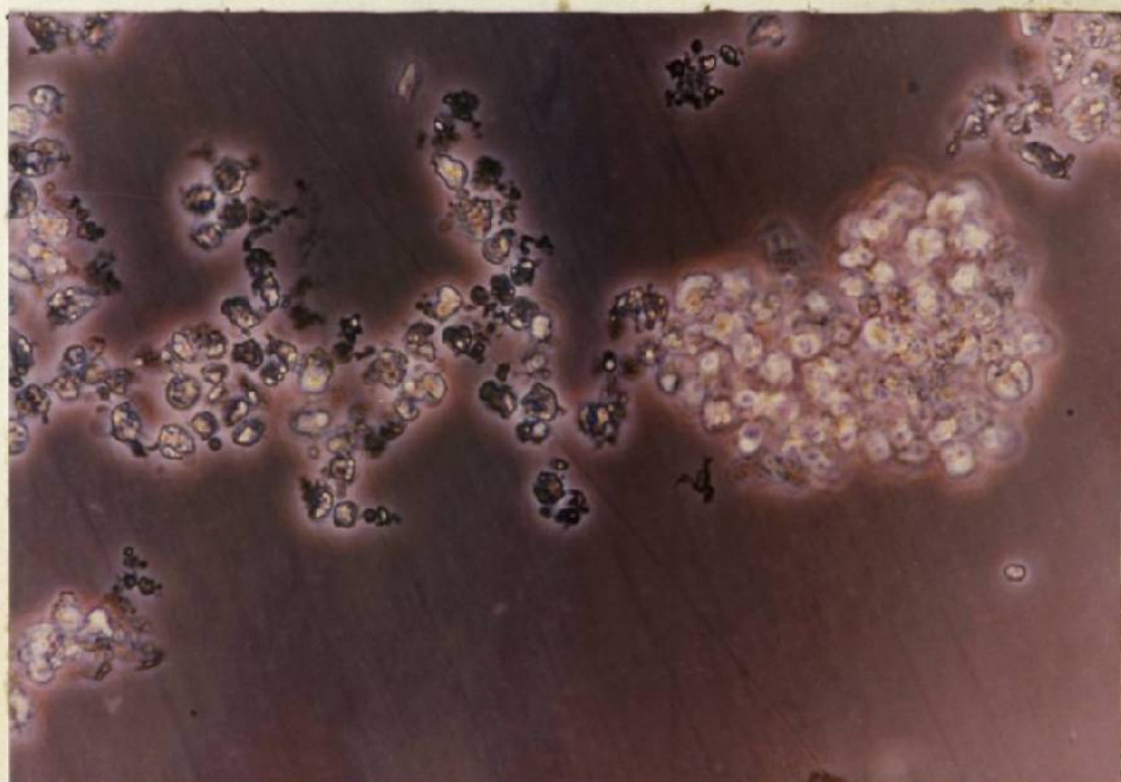


Fig. 46a Carcinoma pulmonar de células pequeñas NCI-H69.
Mitomicina 2 mcgr/ml.



Fig. 47' Células de Colon. Control



Fig. 47a' Células de Colon. Mitomicina 2 mcgr/ml.

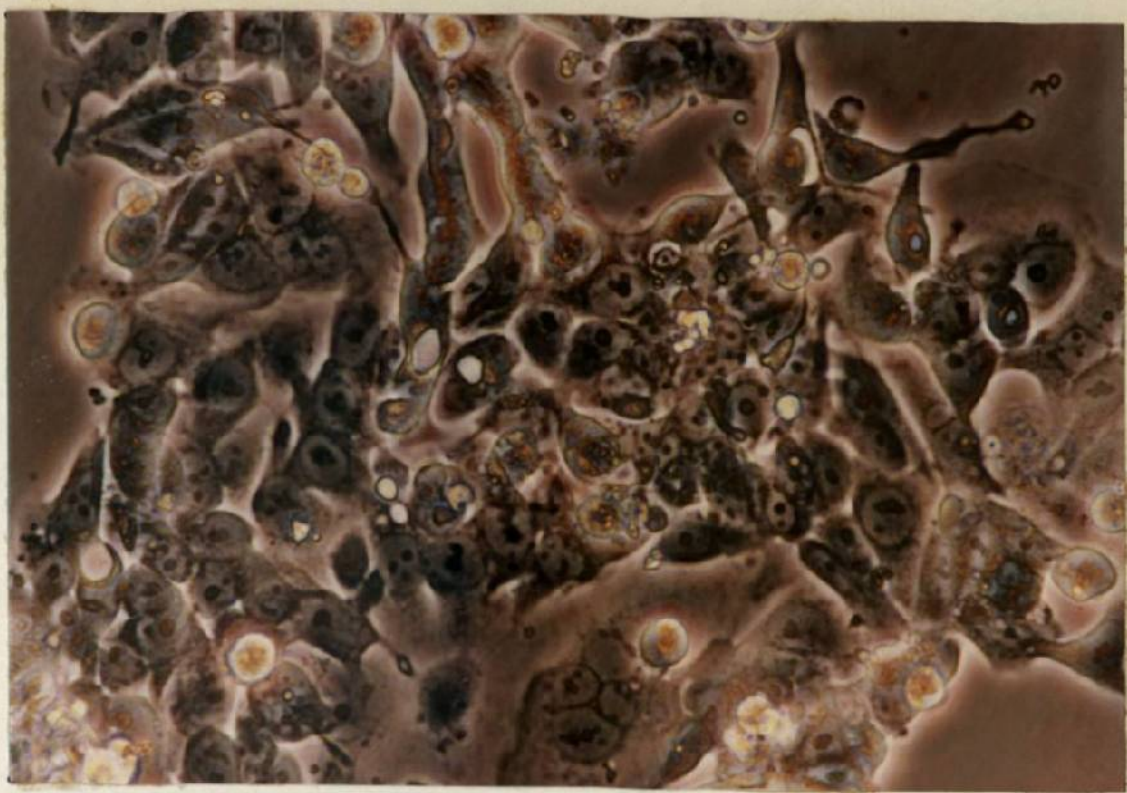


Fig. 47 Adenocarcinoma de Colon LoVo. Control

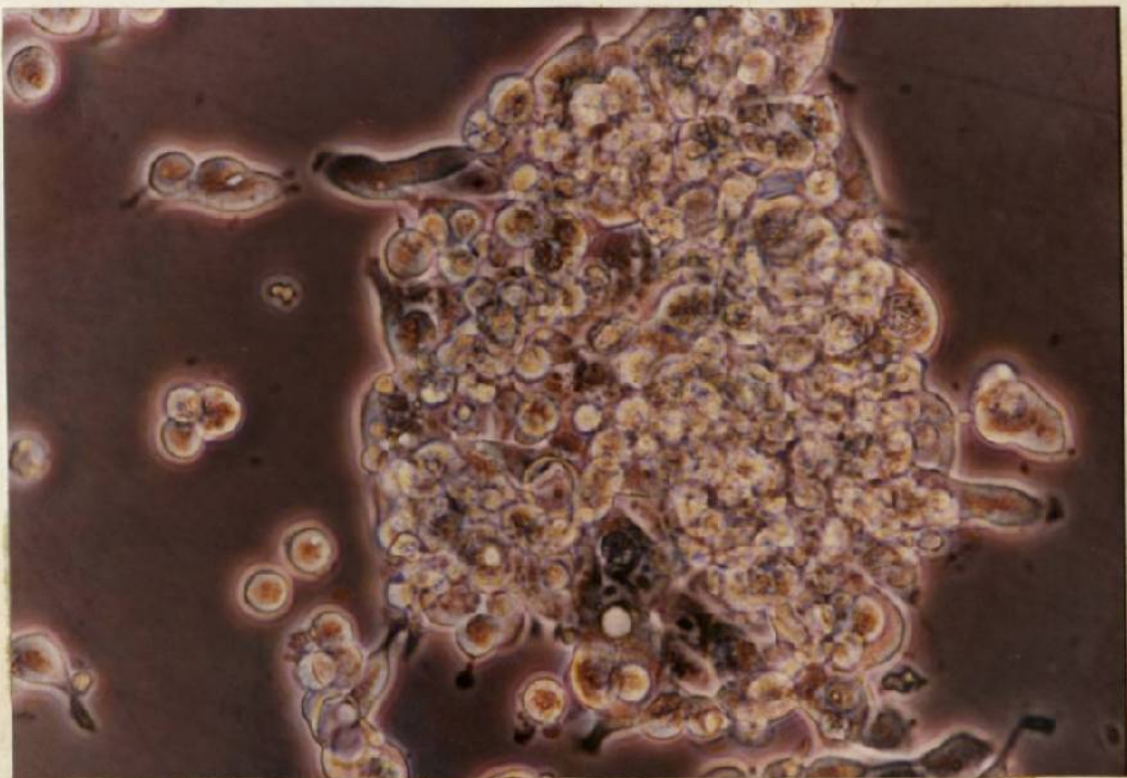


Fig. 47a Adenocarcinoma de Colon LoVo.
Mitomicina 2 mcgr/ml.



Fig. 48' Células de Chang. Control

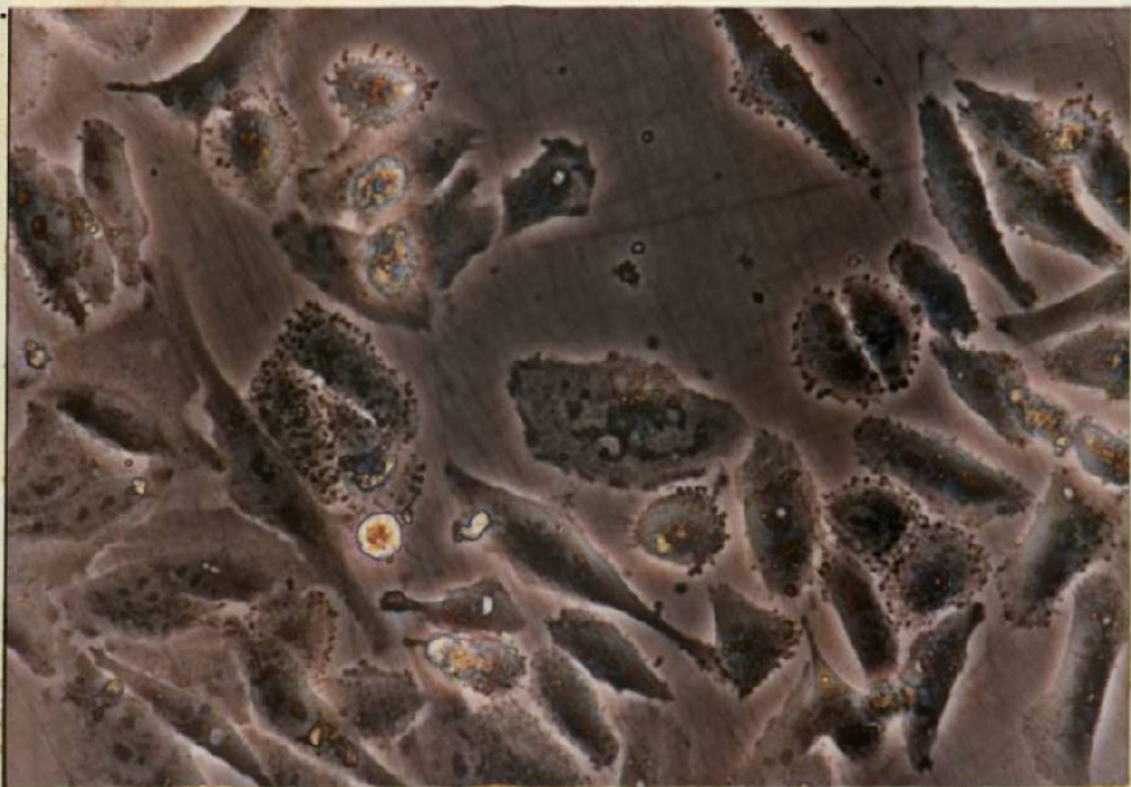


Fig. 48a' Células de Chang. T-514 80 mcgr/ml.

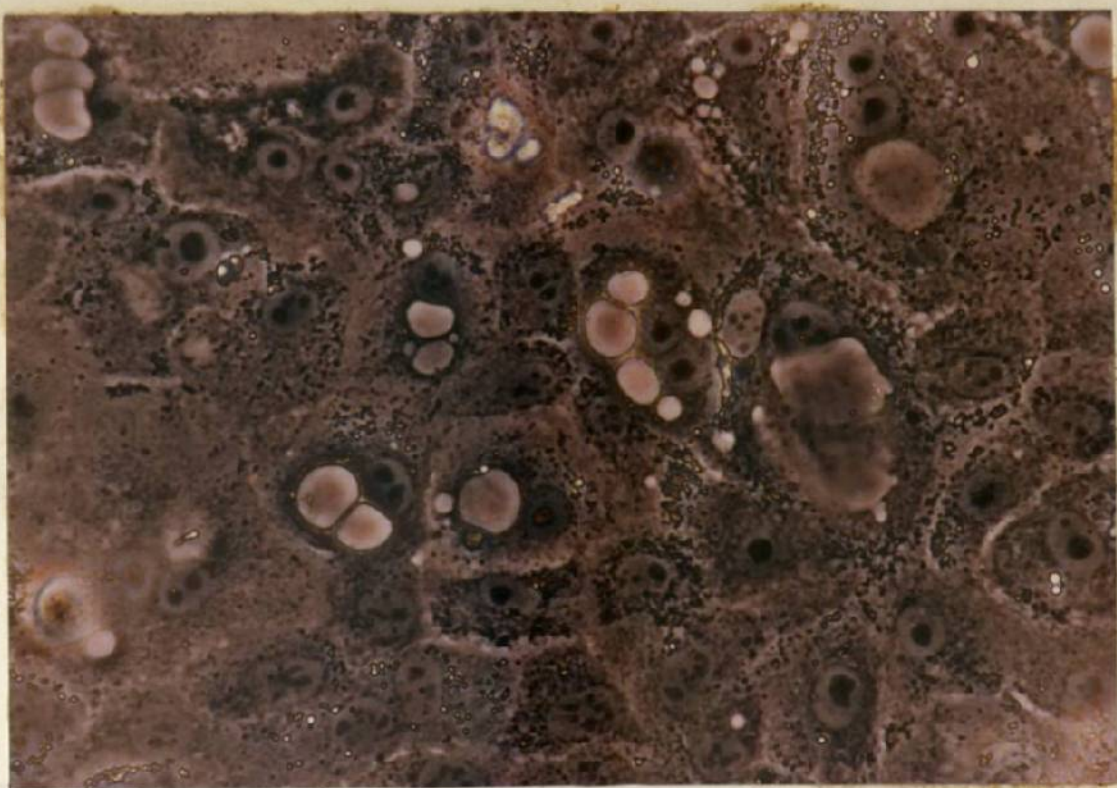


Fig. 48 Hepatoma PLC/PRF/5. Control

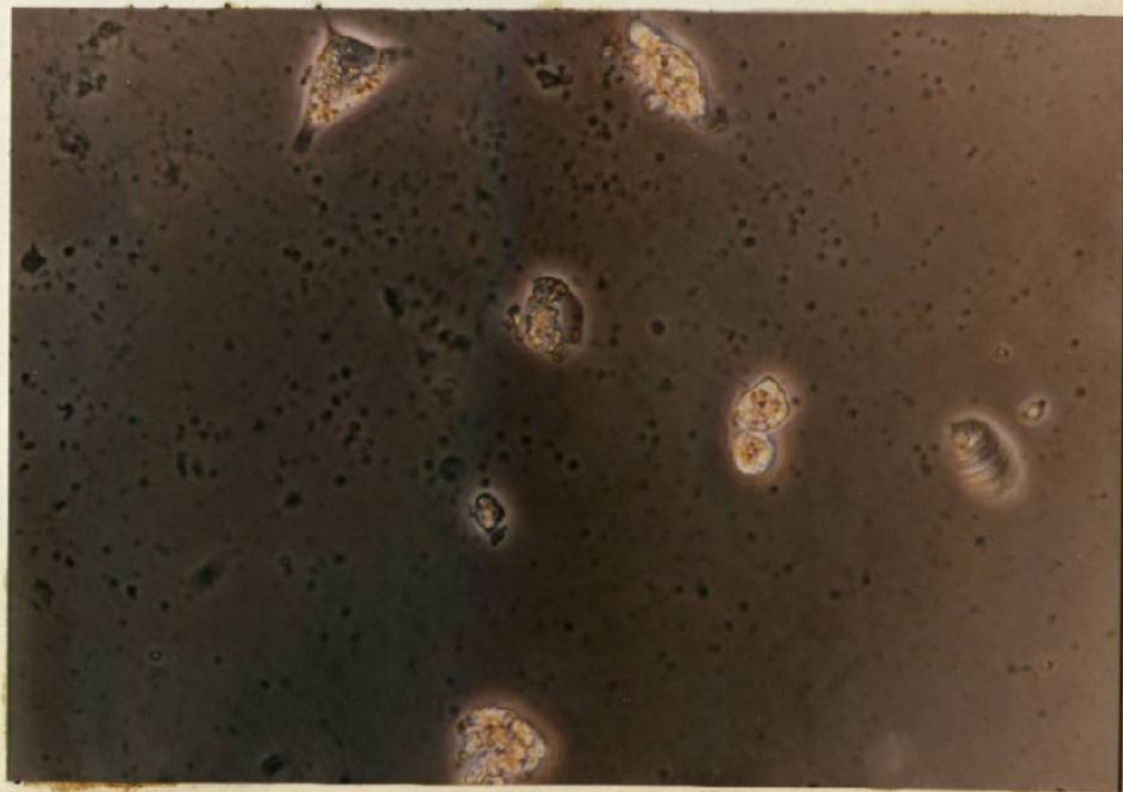


Fig. 48a Hepatoma PLC/PRF/5. T-514 5 mcgr-ml.



Fig. 49' Células de Chang. Control

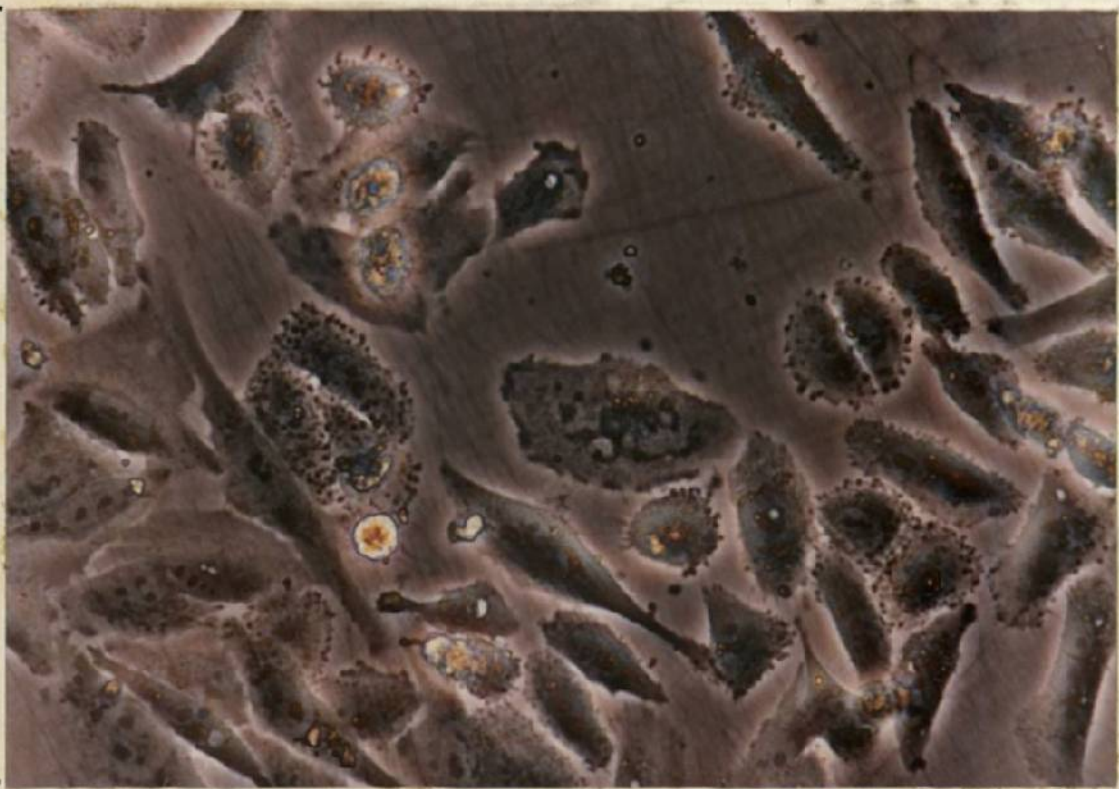


Fig. 49a' Células de Chang. T-514 80 mcgr/ml.

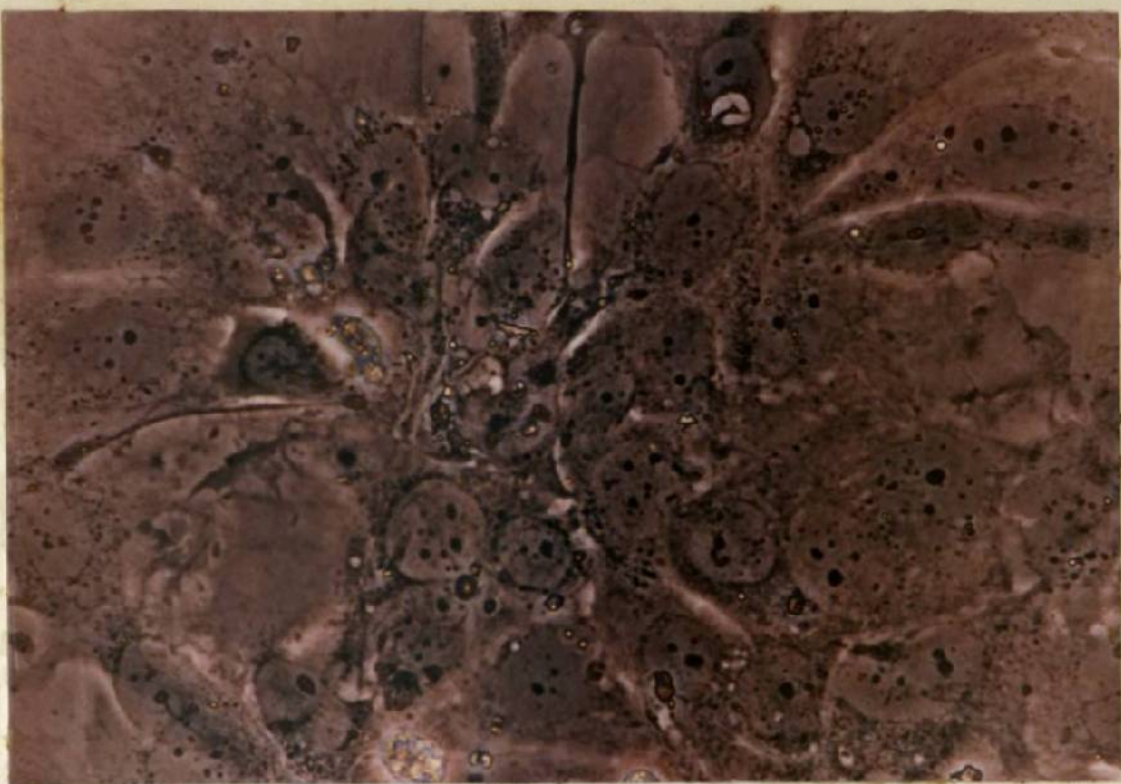


Fig. 49 Hepatoma Hep 3B. Control

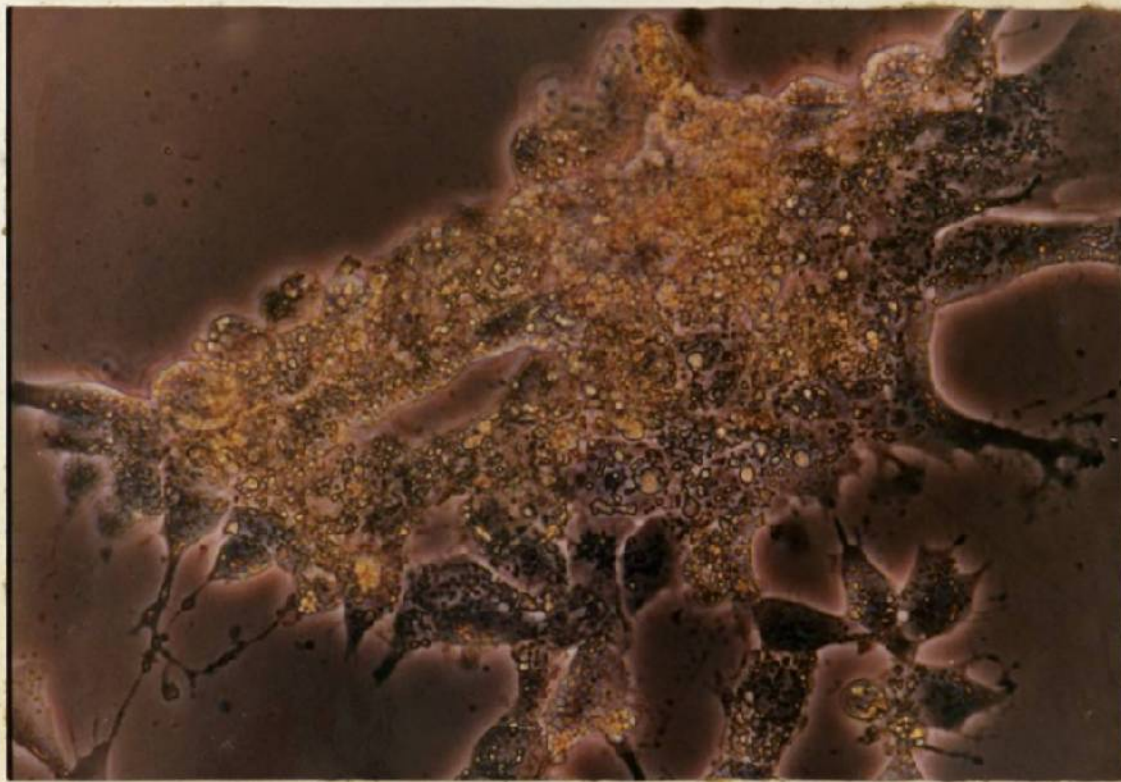


Fig. 49a Hepatoma Hep 3B. T-514 5 mcgr-ml.

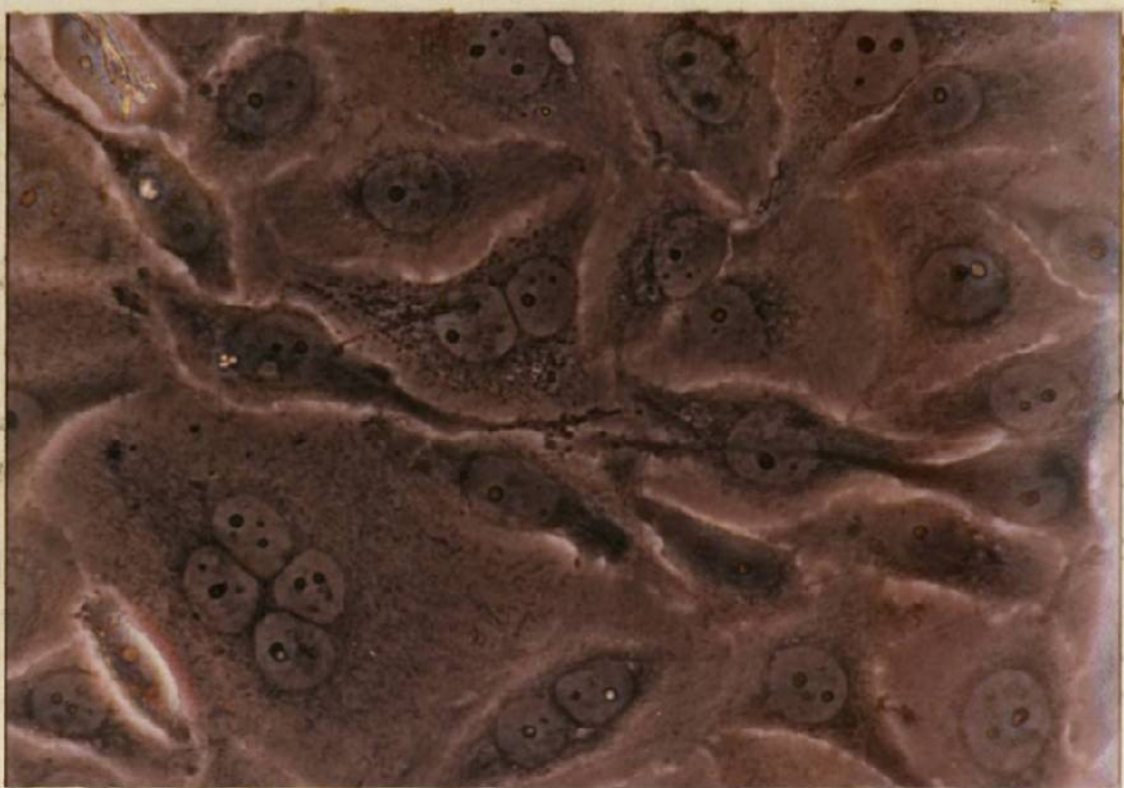


Fig. 50' Células de Chang. Control

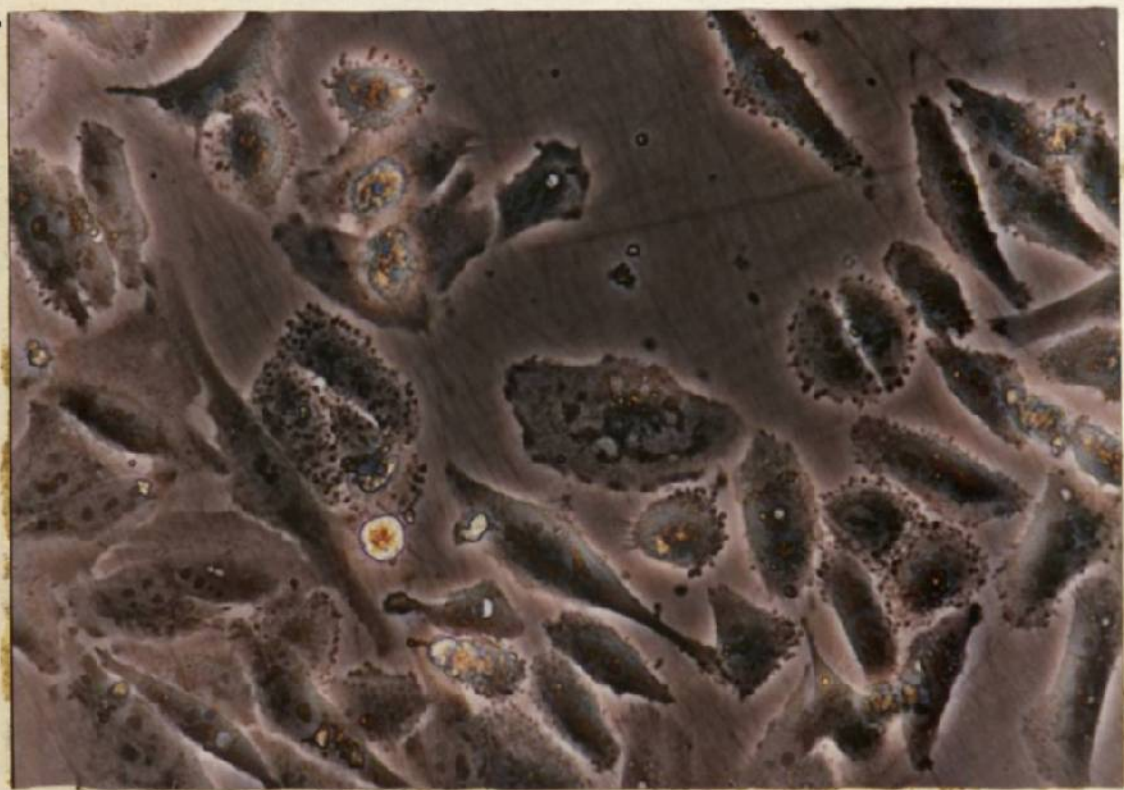


Fig. 50a' Células de Chang. T-514 80 mcgr/ml.

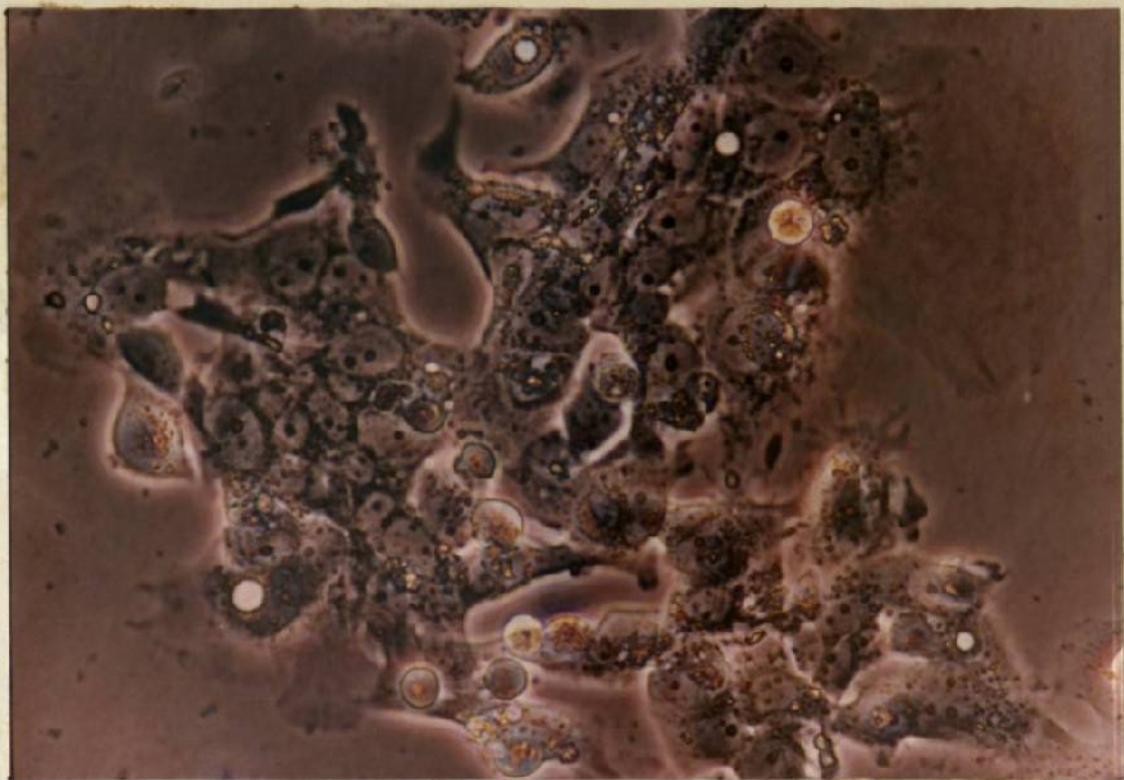


Fig. 50 Hepatoma Hep G2. Control

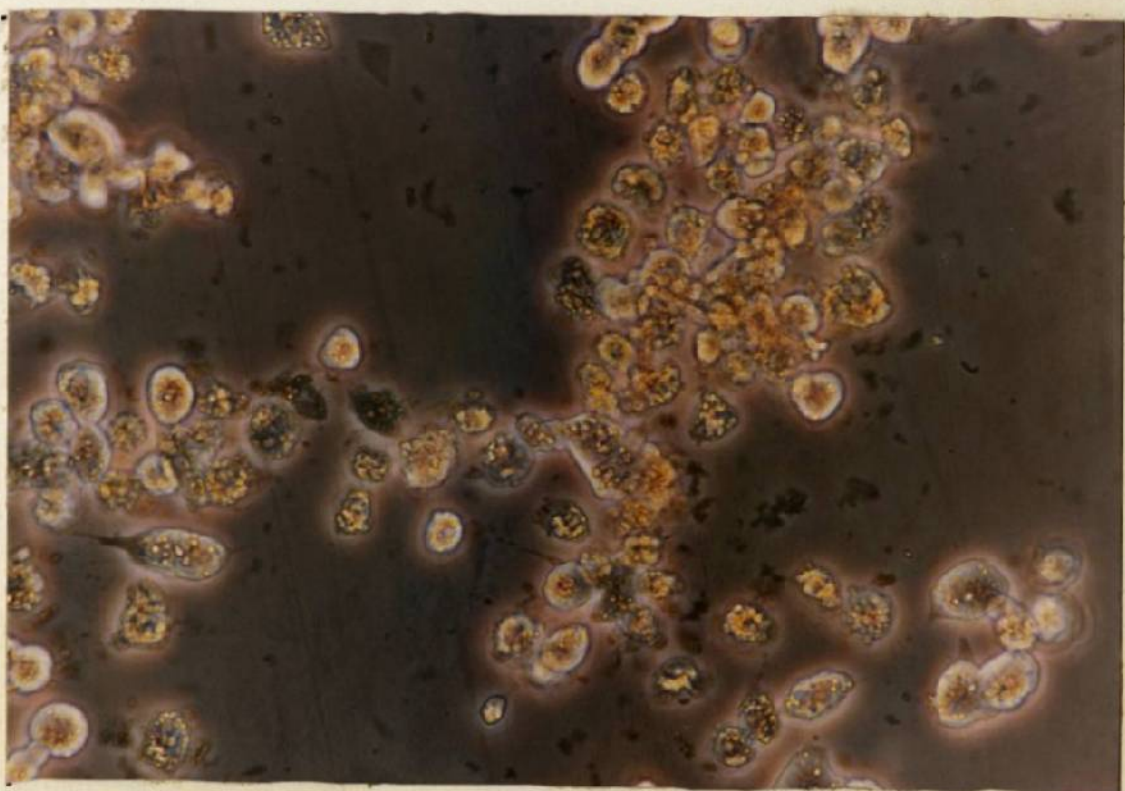


Fig. 50a Hepatoma Hep G2. T-514 5 mcgr-ml.

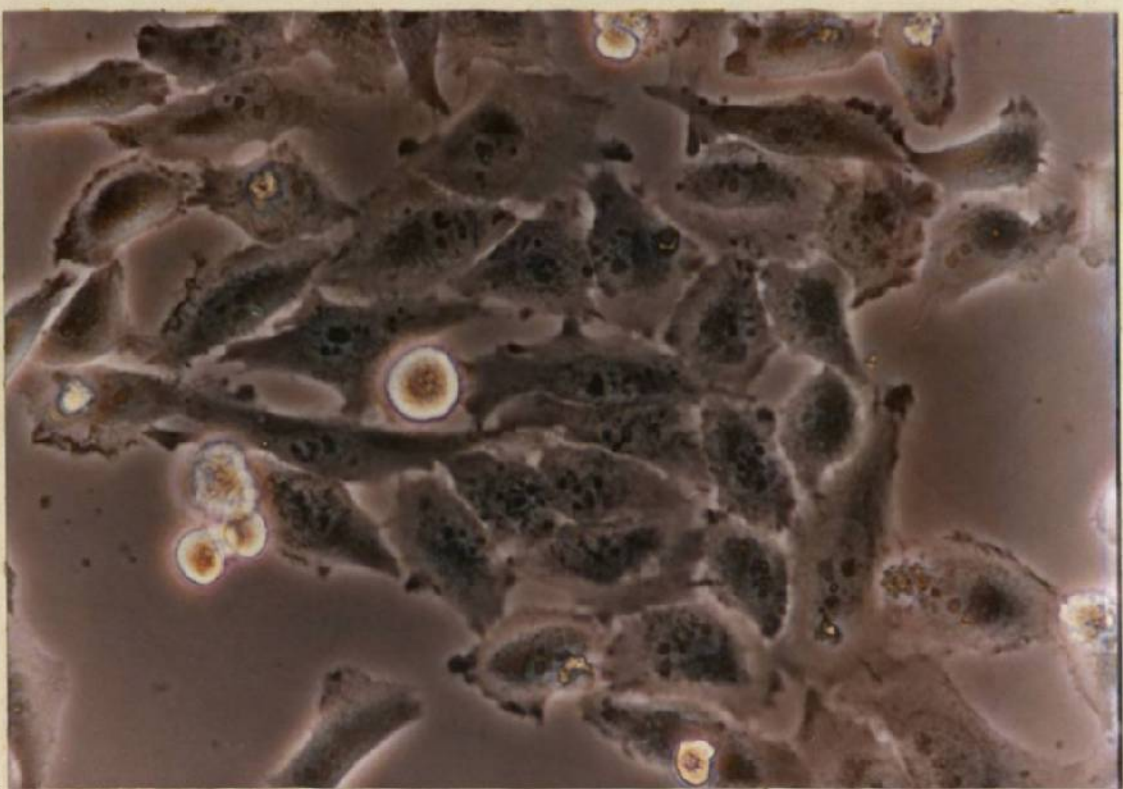


Fig. 51' Células de Pulmón. Control

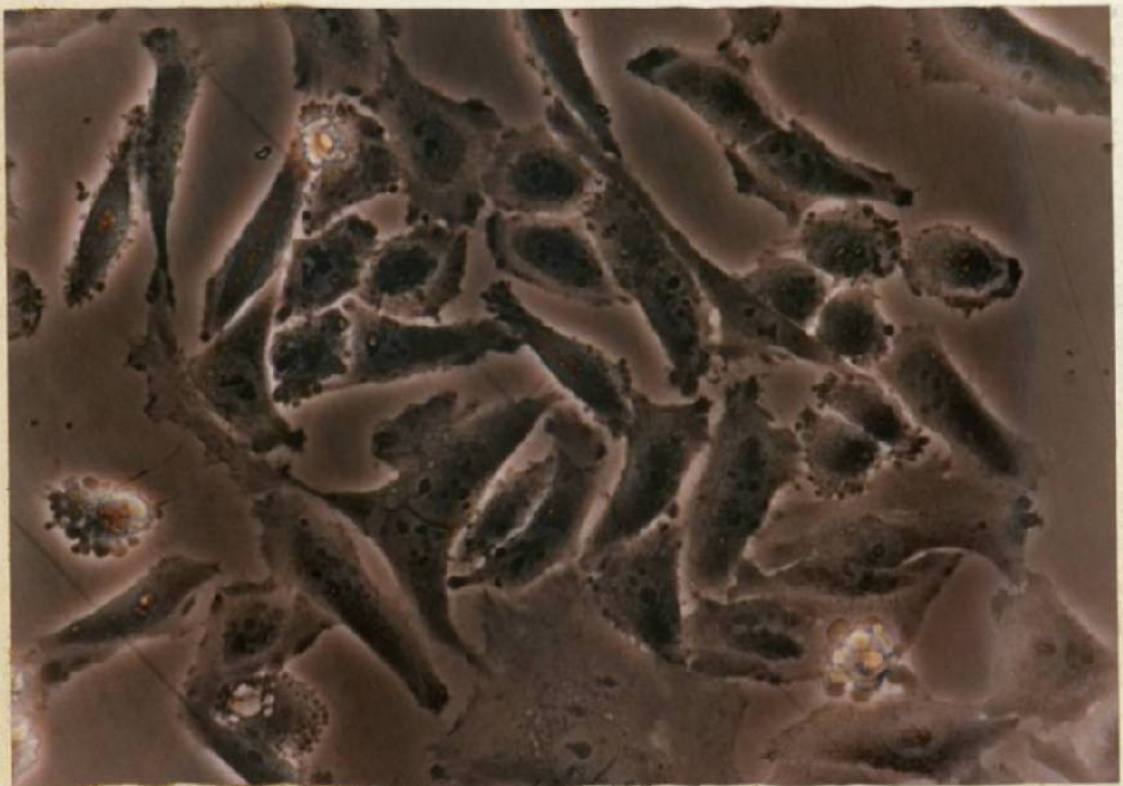


Fig. 51a' Células de Pulmón. T-514 80 mcgr/ml.

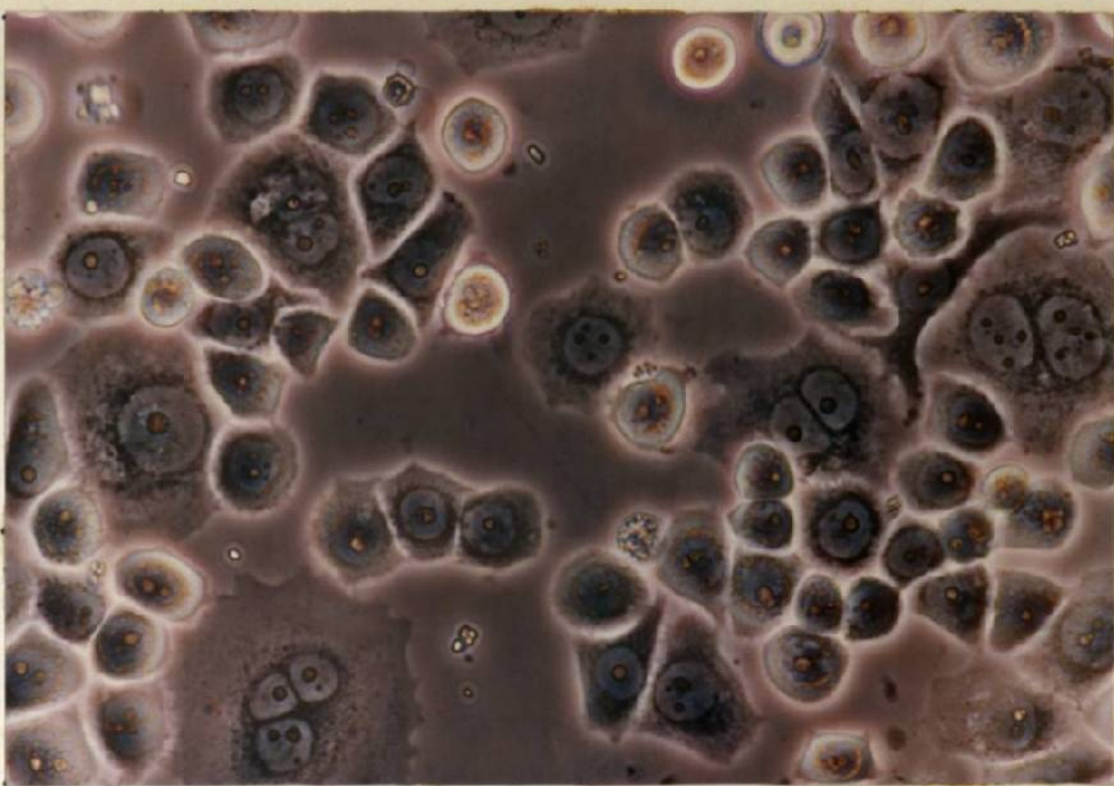


Fig. 51 Carcinoma broncogénico ChaGoK-1. Control

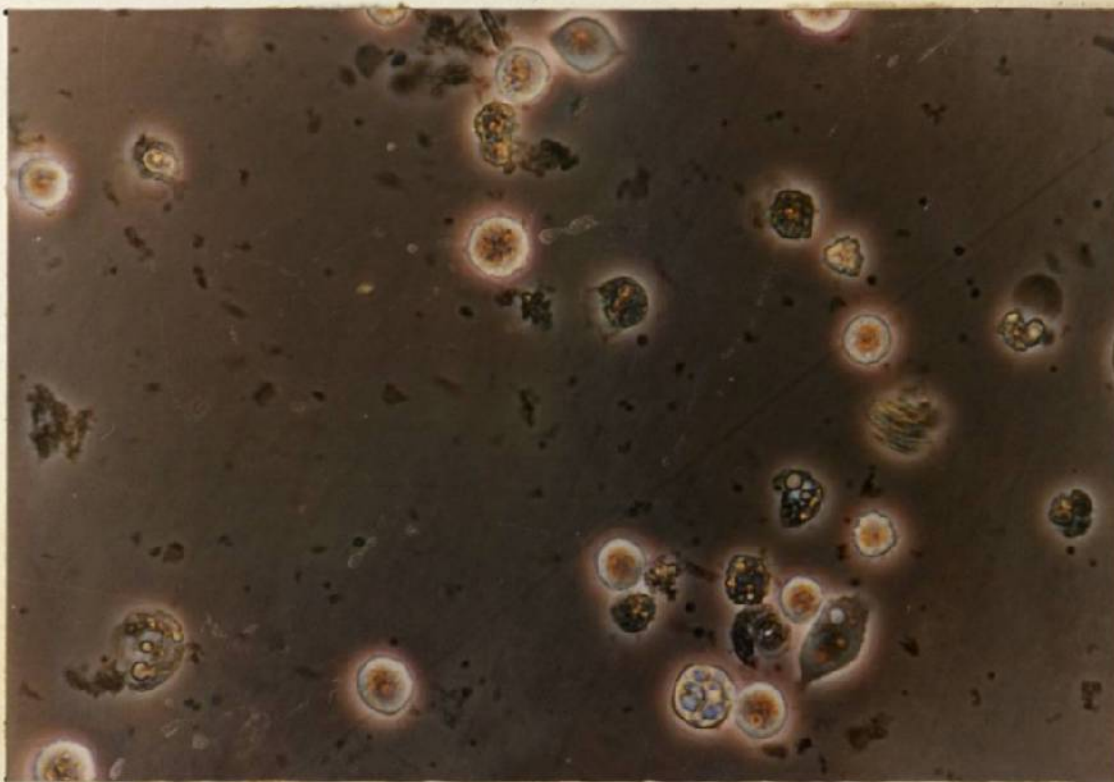


Fig. 51a Carcinoma broncogénico ChaGoK-1.
T-514 20 mcgr-ml.

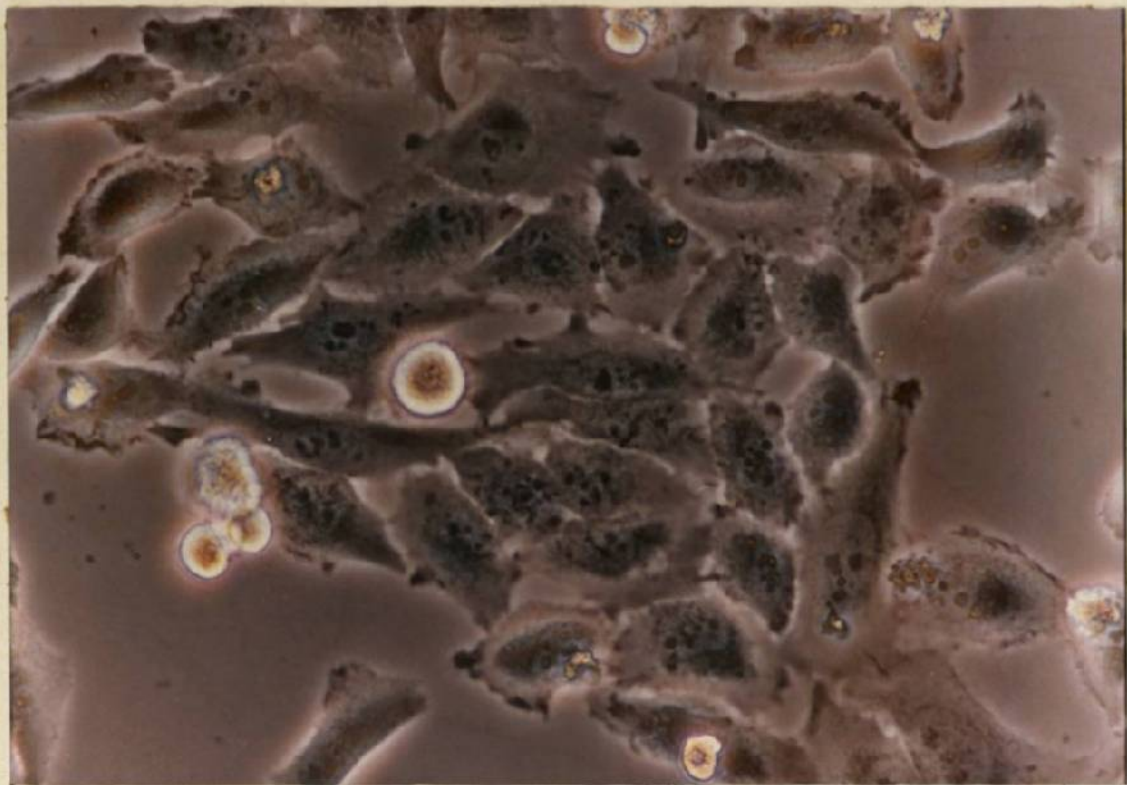


Fig. 52' Células de Pulmón. Control



Fig. 52a' Células de Pulmón. T-514 80 mcgr/ml.



Fig. 52 Adenocarcinoma pulmonar Calu-3. Control

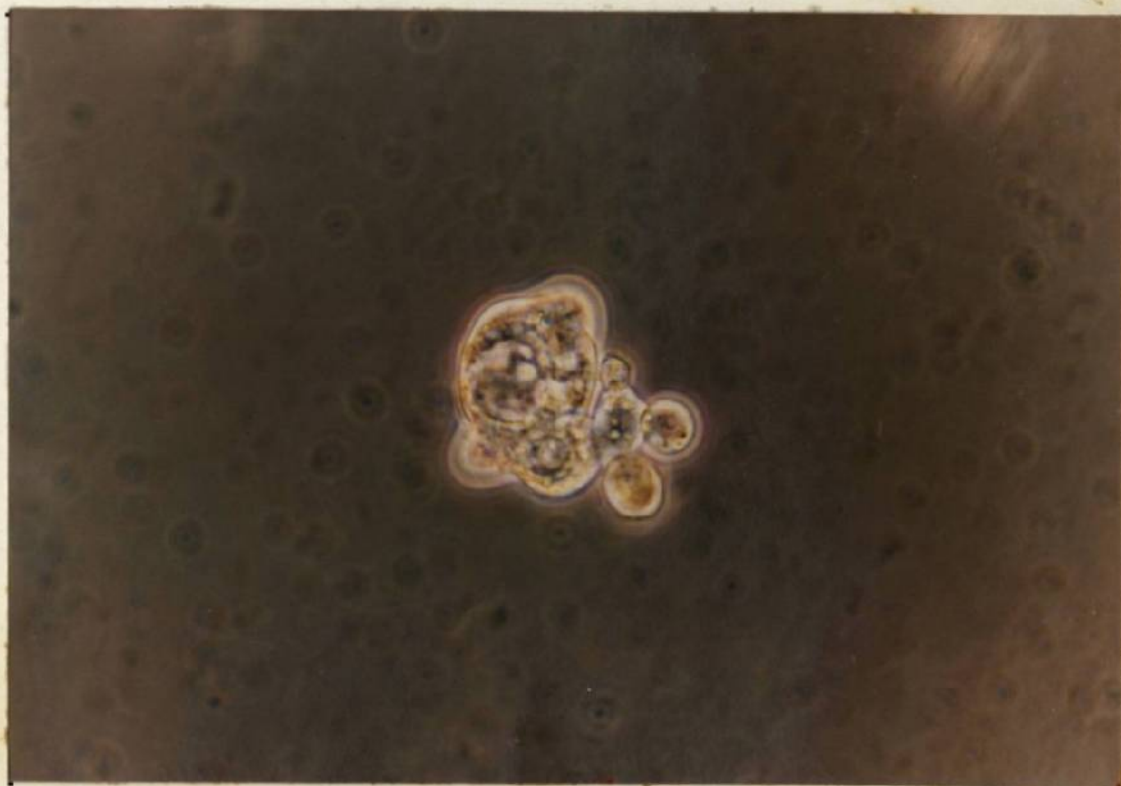


Fig. 52a Adenocarcinoma pulmonar Calu-3.

T-514 20 mcgr-ml.

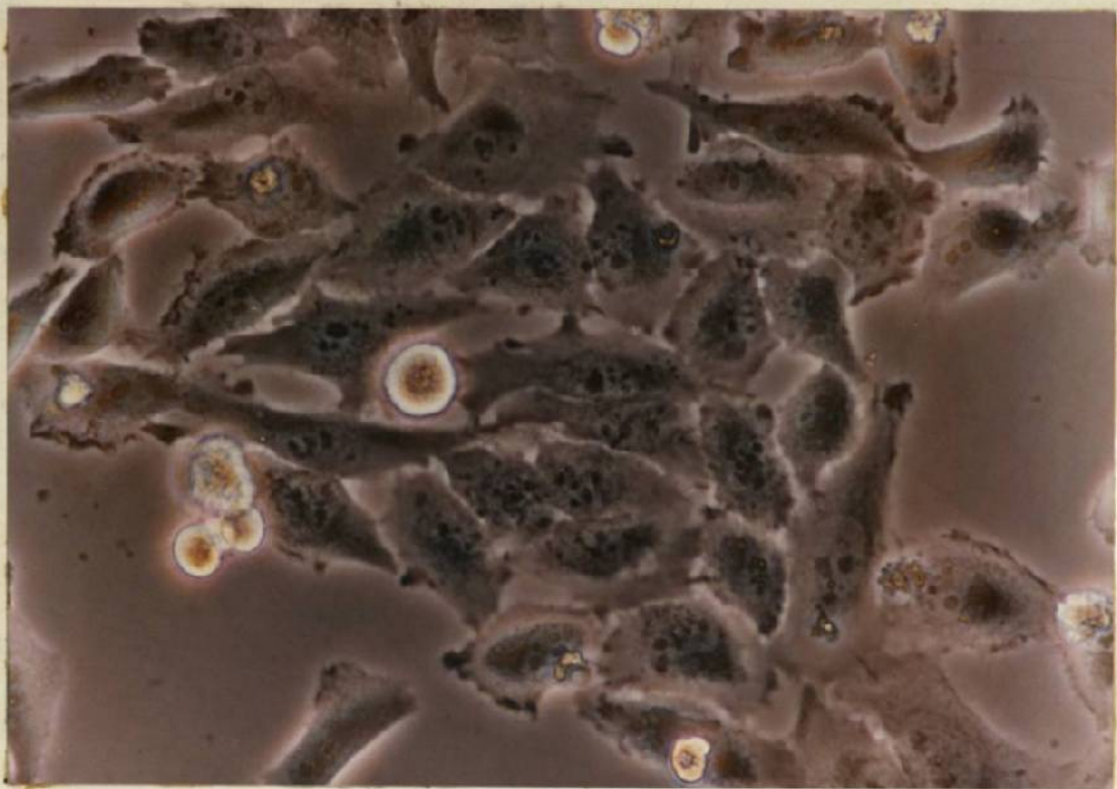


Fig. 53' Células de Pulmón. Control

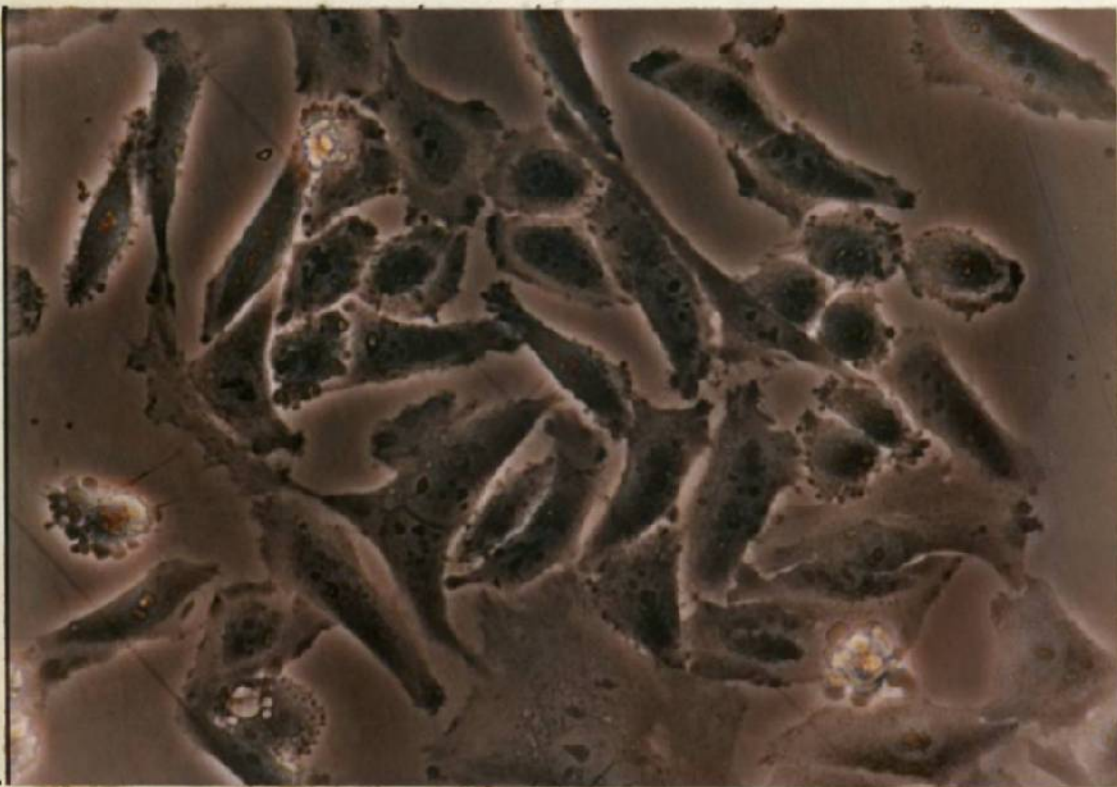
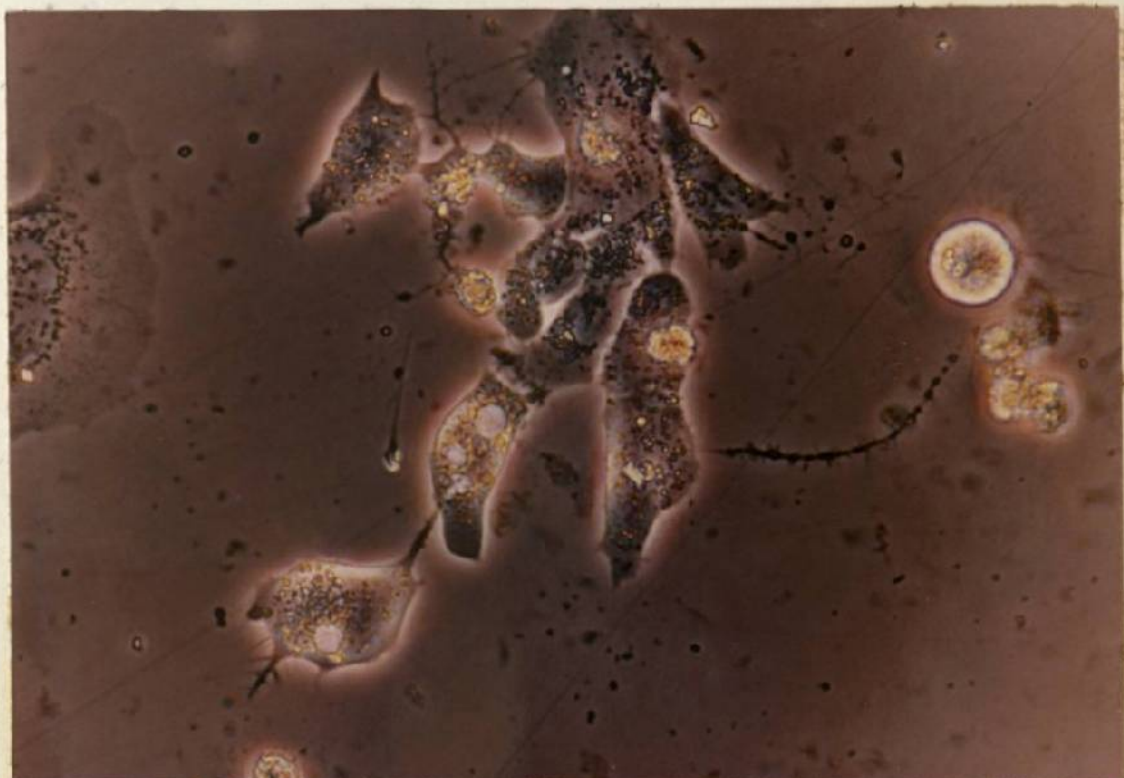


Fig. 53a' Células de Pulmón. T-514 80 mcgr/ml.



**Fig. 53 Carcinoma pulmonar de células escamosas SK-Mes-1.
Control**



**Fig. 53a Carcinoma pulmonar de células escamosas SK-Mes-1.
T-514 20 mcgr-ml.**

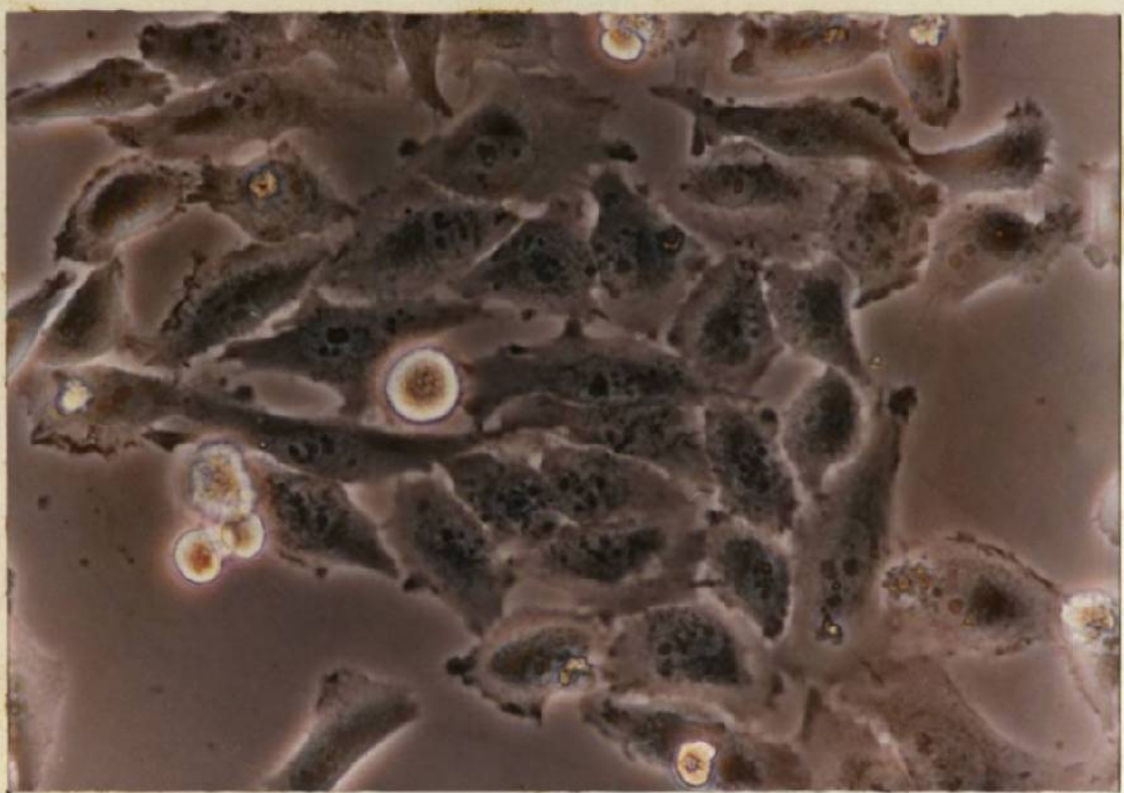


Fig. 54' Células de Pulmón. Control

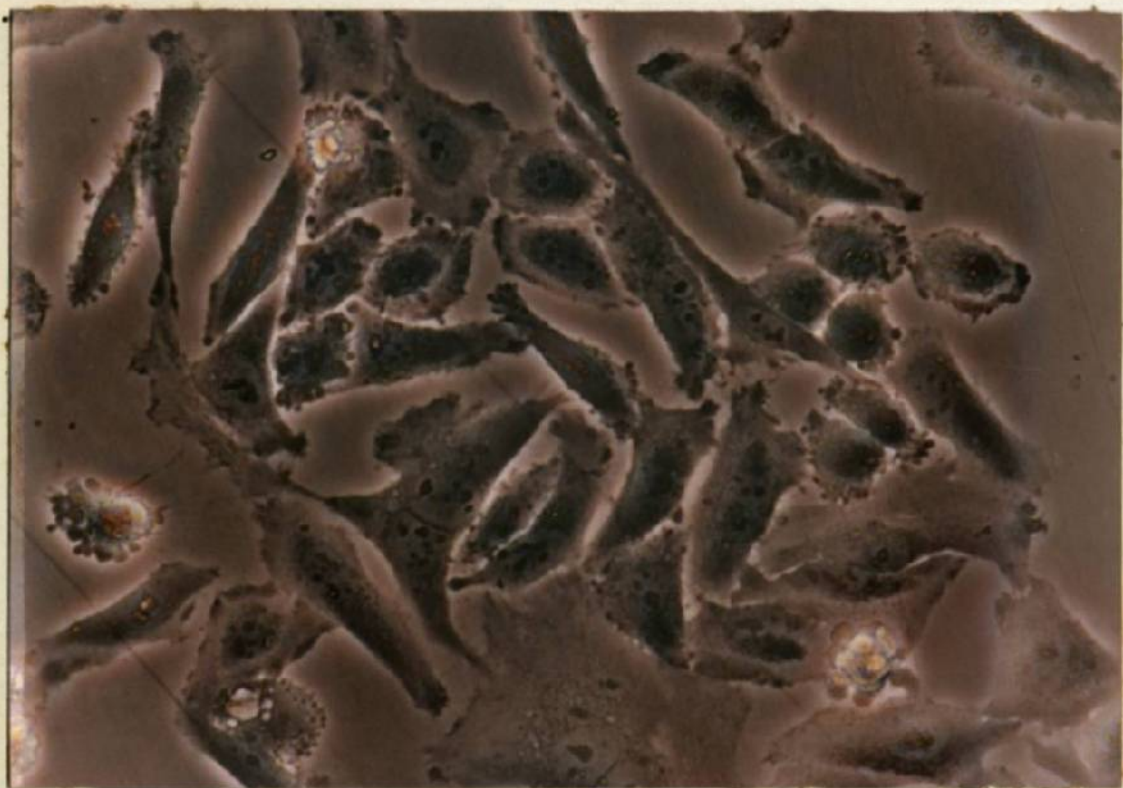


Fig. 54a' Células de Pulmón. T-514 80 mcgr/ml.

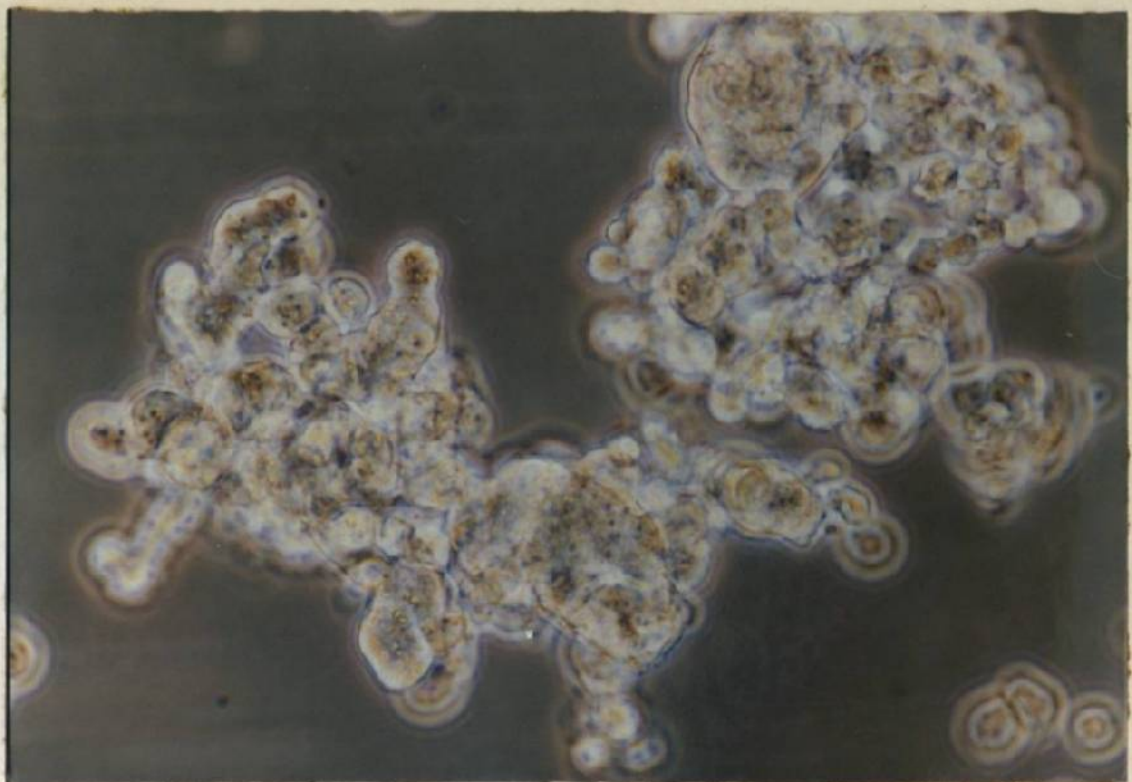


Fig. 54 Carcinoma pulmonar de células pequeñas NCI-H69.
Control

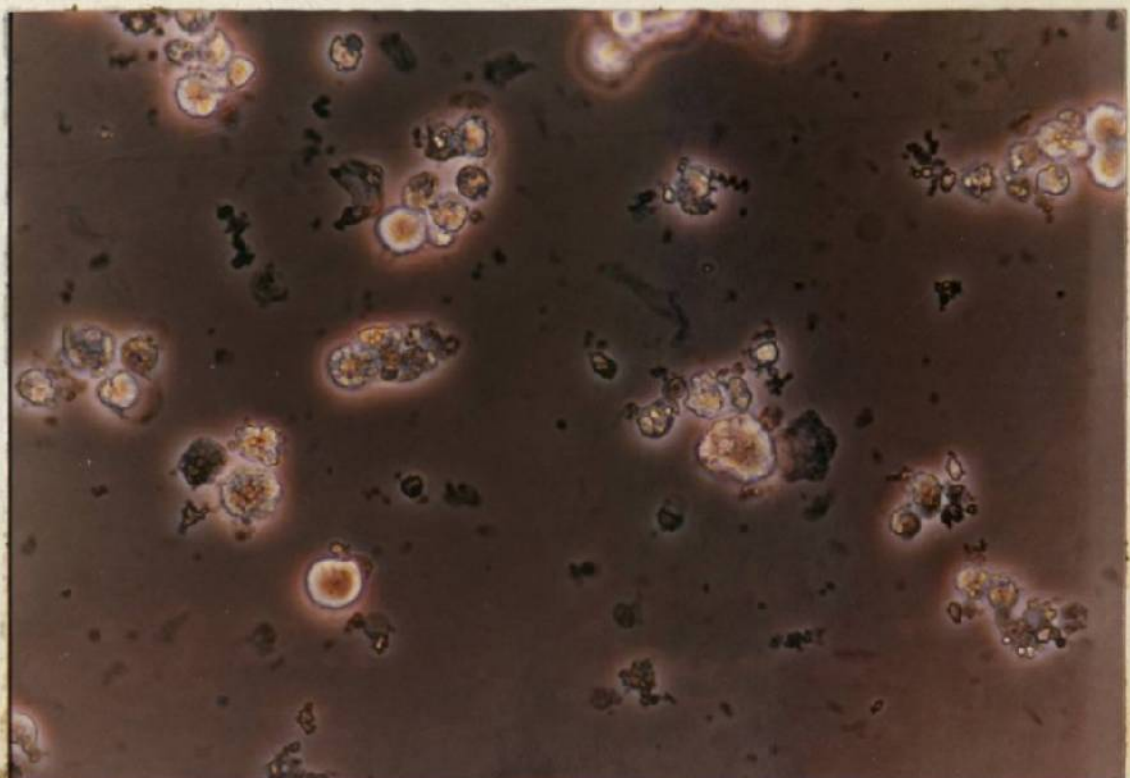


Fig. 54a Carcinoma pulmonar de células pequeñas NCI-H69.
T-514 20 mcgr-ml.



Fig. 55' Células de Colon. Control



Fig. 55a' Células de Colon. T-514 80 mcgr/ml.

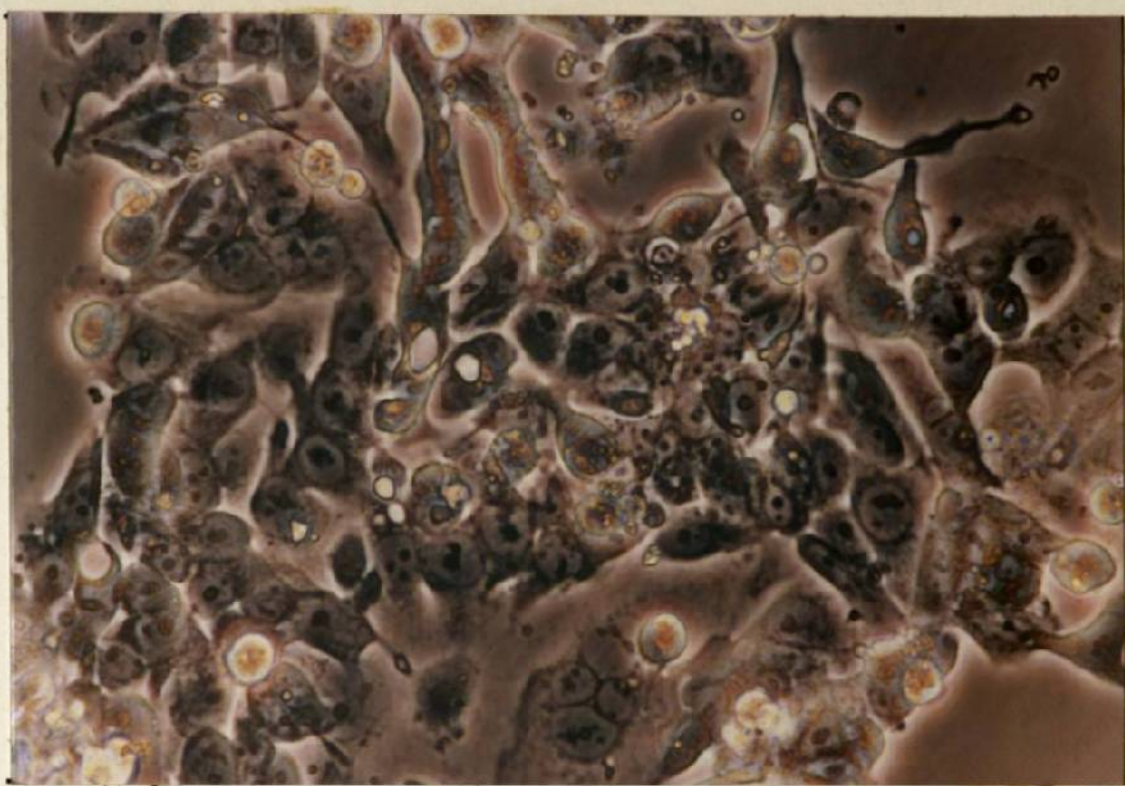


Fig. 55 Adenocarcinoma de Colon LoVo. Control

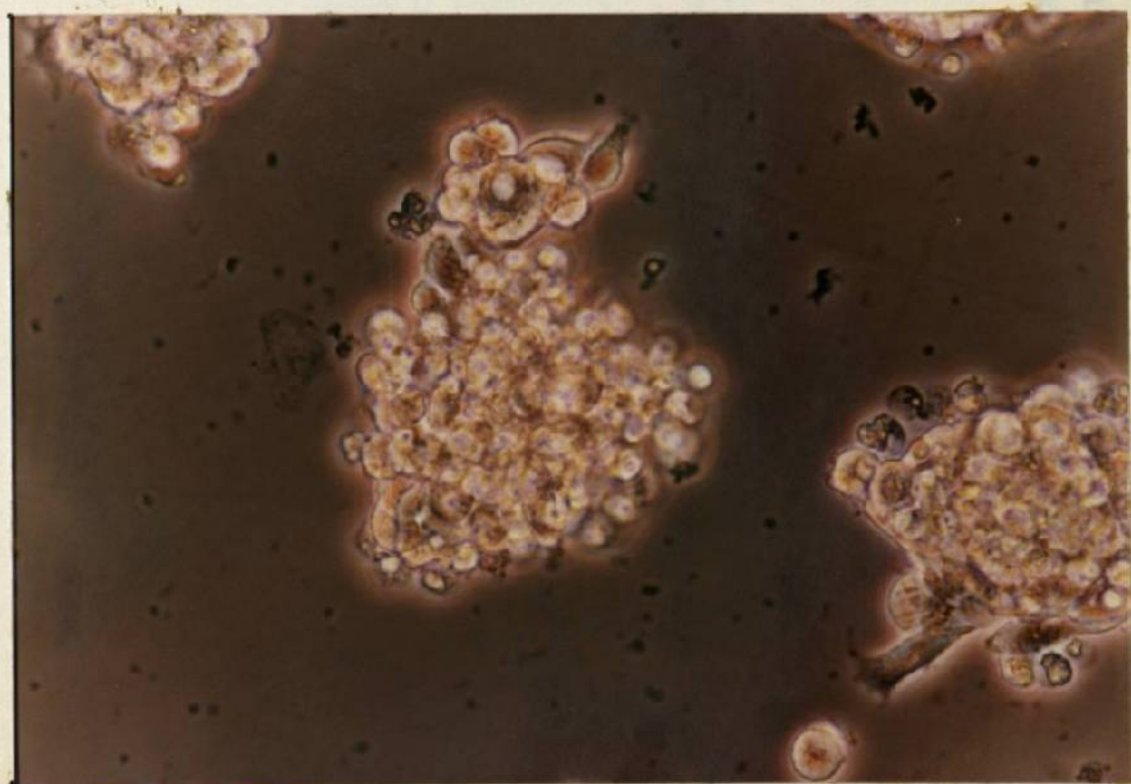


Fig. 55a Adenocarcinoma de Colon LoVo. T-514 5 mcgr/ml.

CLAVE:

H2 = Hepatoma PLC/PRF/5.

H3 = Hepatoma Hep 3B.

H4 = Hepatoma Hep G2.

CHANG = Células de Chang.

CARCINOMA = Adenocarcinoma de Colon LoVo.

COLON = Células de Colon.

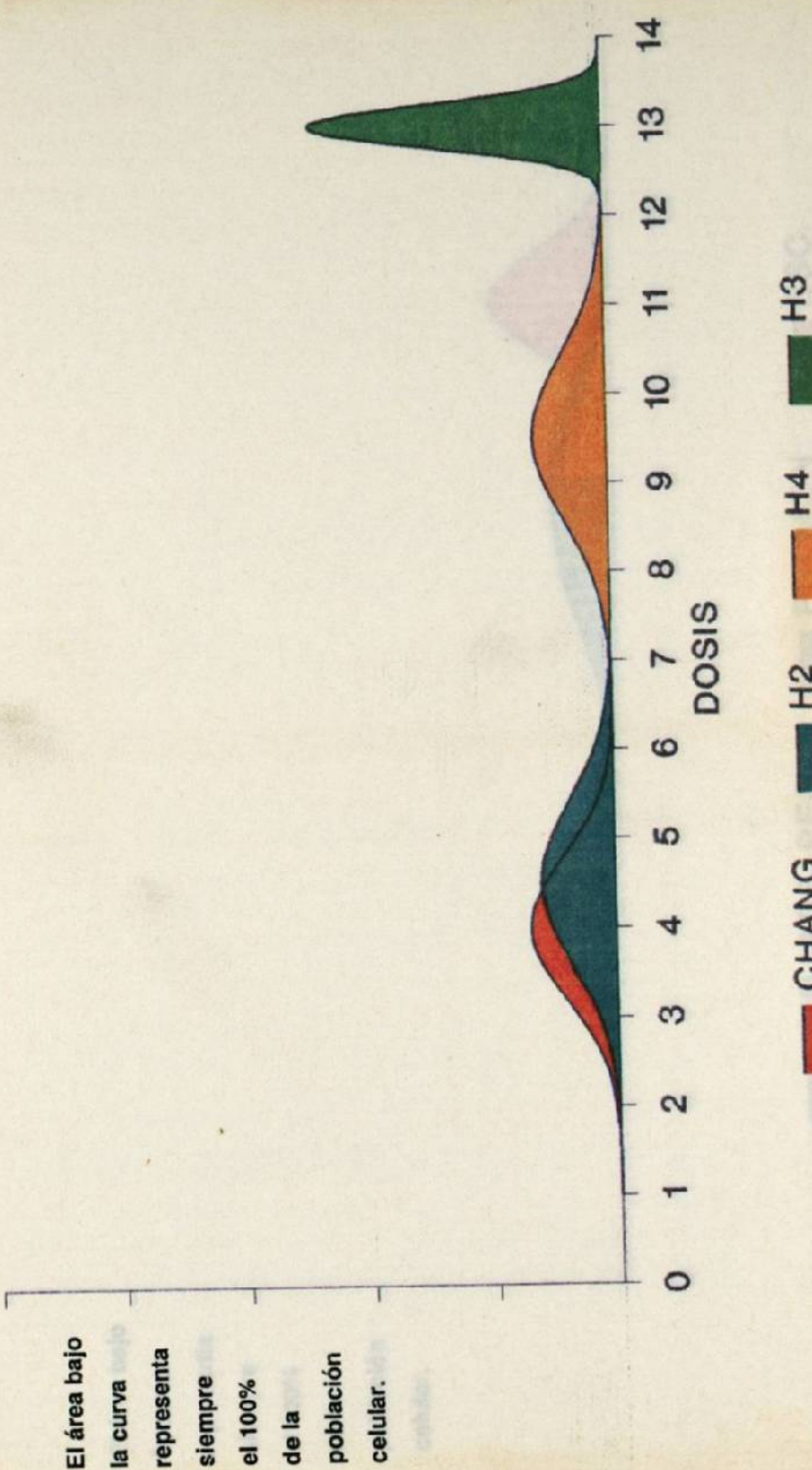
IND. = Carcinoma broncogénico ChaGoK-1.

ADE. = Adenocarcinoma de Pulmón Calu-3.

ESQ. = Carcinoma pulmonar de células
escamosas SK-Mes-1.

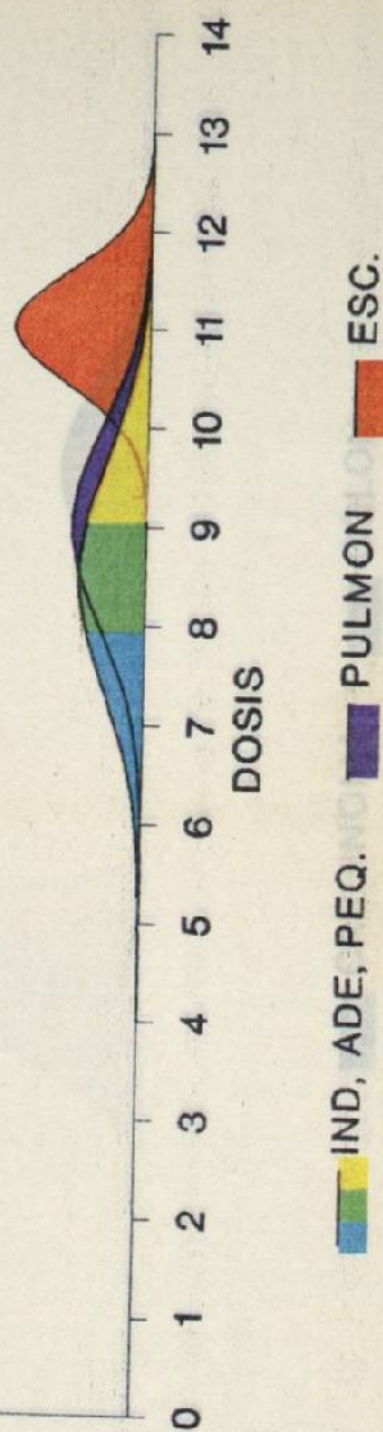
PEQ. = Carcinoma pulmonar de células
pequeñas NCI-H69.

PUL.MON = Células de Pulmón.



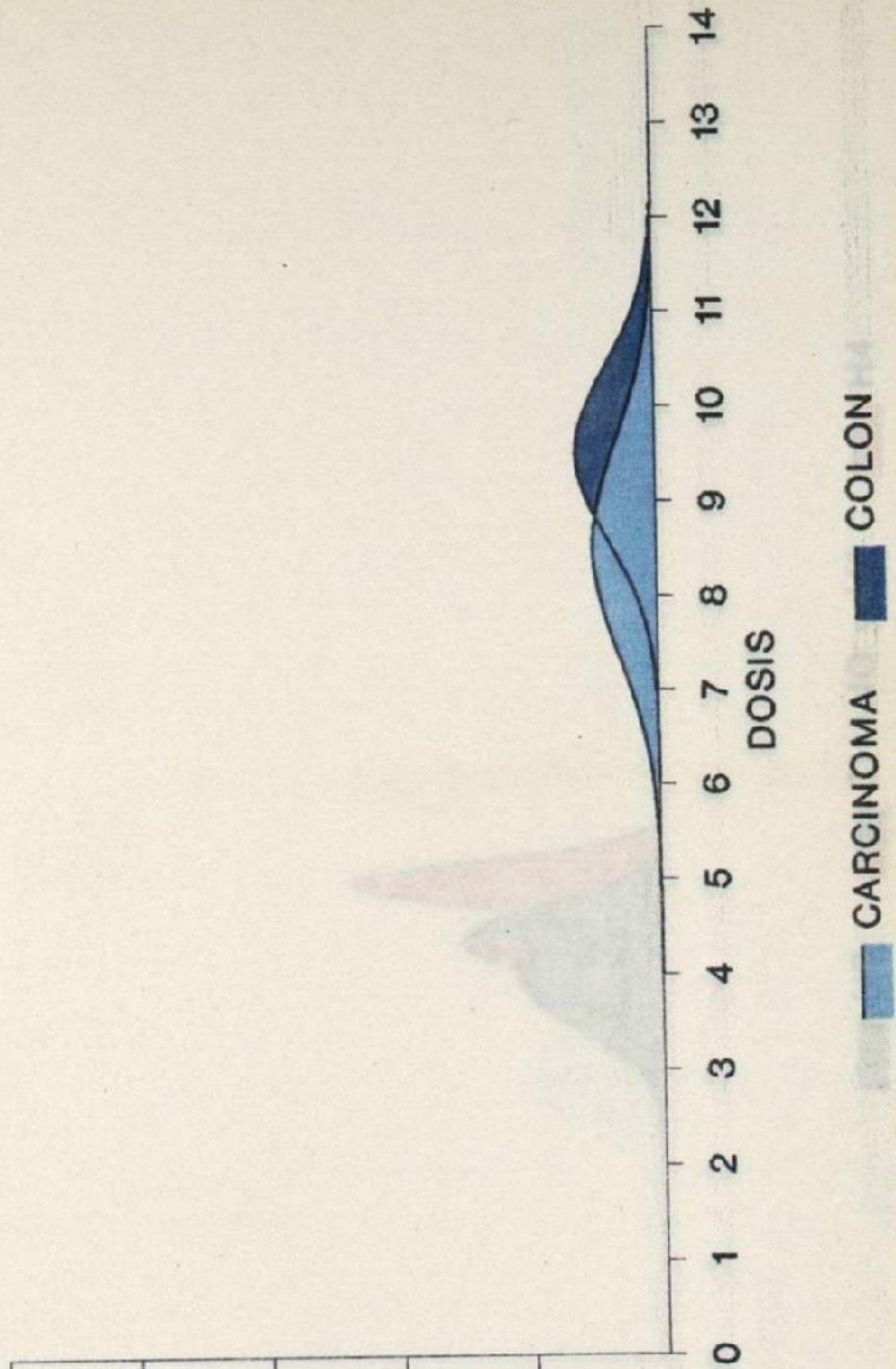
Gráfica 17. Curvas de distribución de la mortalidad en células de Hígado de Pulmón de origen normal y neoplásico expuestas a Vincristina. *Criplana.*

El área bajo
la curva
representa
siempre
el 100%
de la
población
celular.



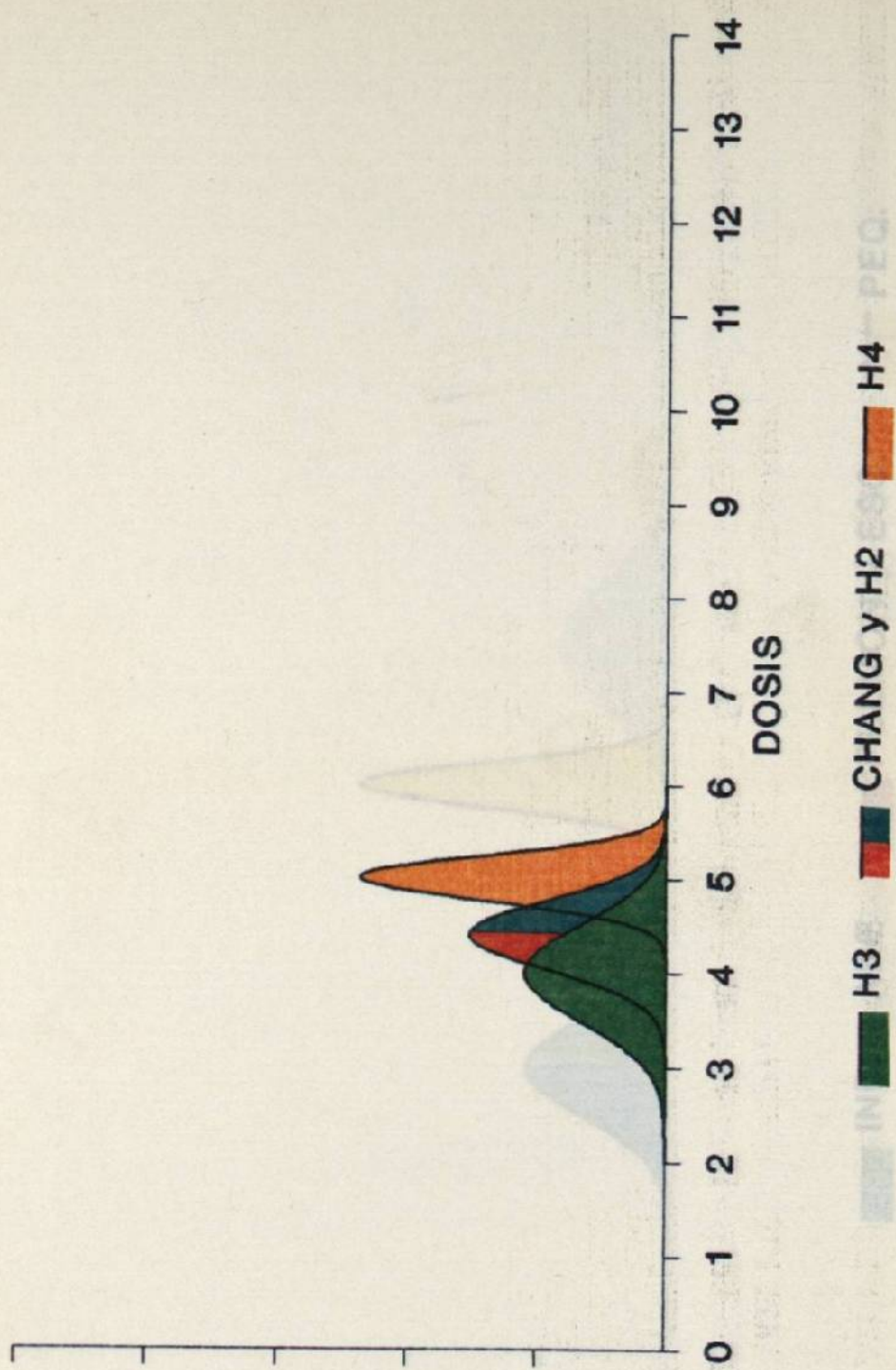
Gráfica 18. Curvas de distribución de la mortalidad en células de Pulmón de origen normal y neoplásico expuestas a Vincristina.

El área bajo la curva representa siempre el 100% de la población celular.



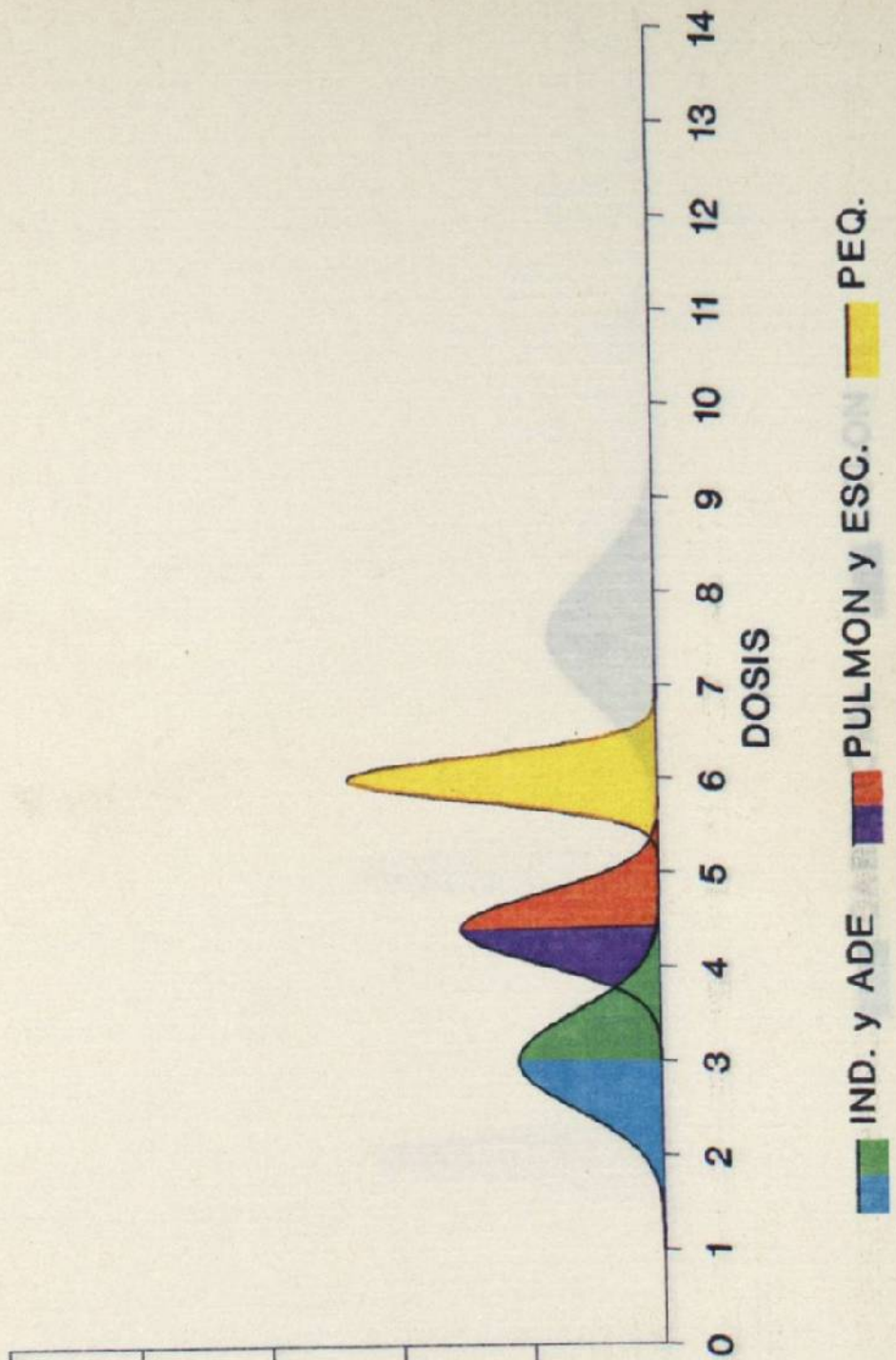
Gráfica 19. Curvas de distribución de la mortalidad en células de Colon de origen normal y neoplásico expuestas a Vincristina.

El área bajo la curva representa siempre el 100% de la población celular.



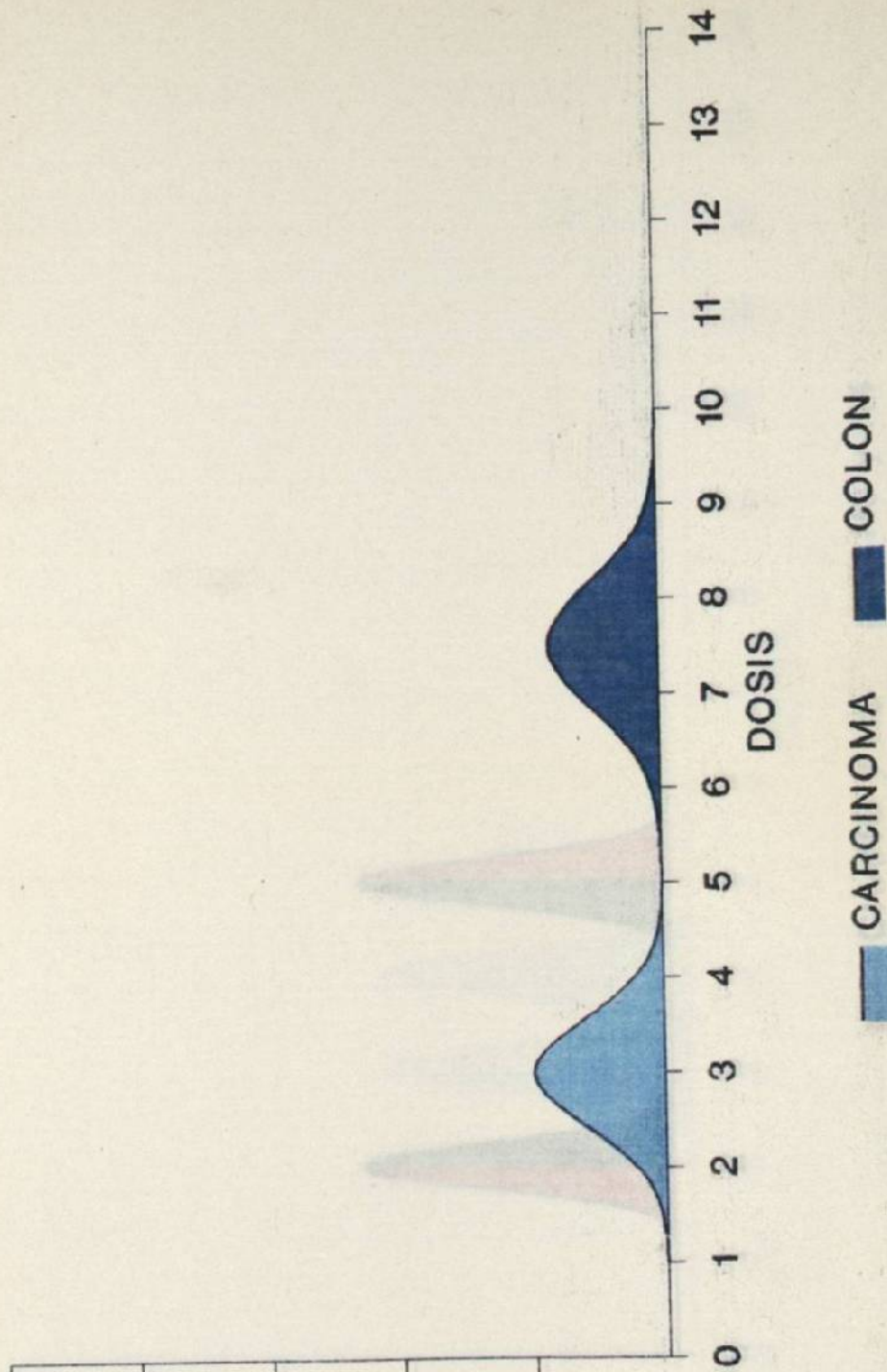
Gráfica 20. Curvas de distribución de la mortalidad en células de Hígado de origen normal y neoplásico expuestas a 5-Fluoruracilo.

El área bajo la curva representa siempre el 100% de la población celular.



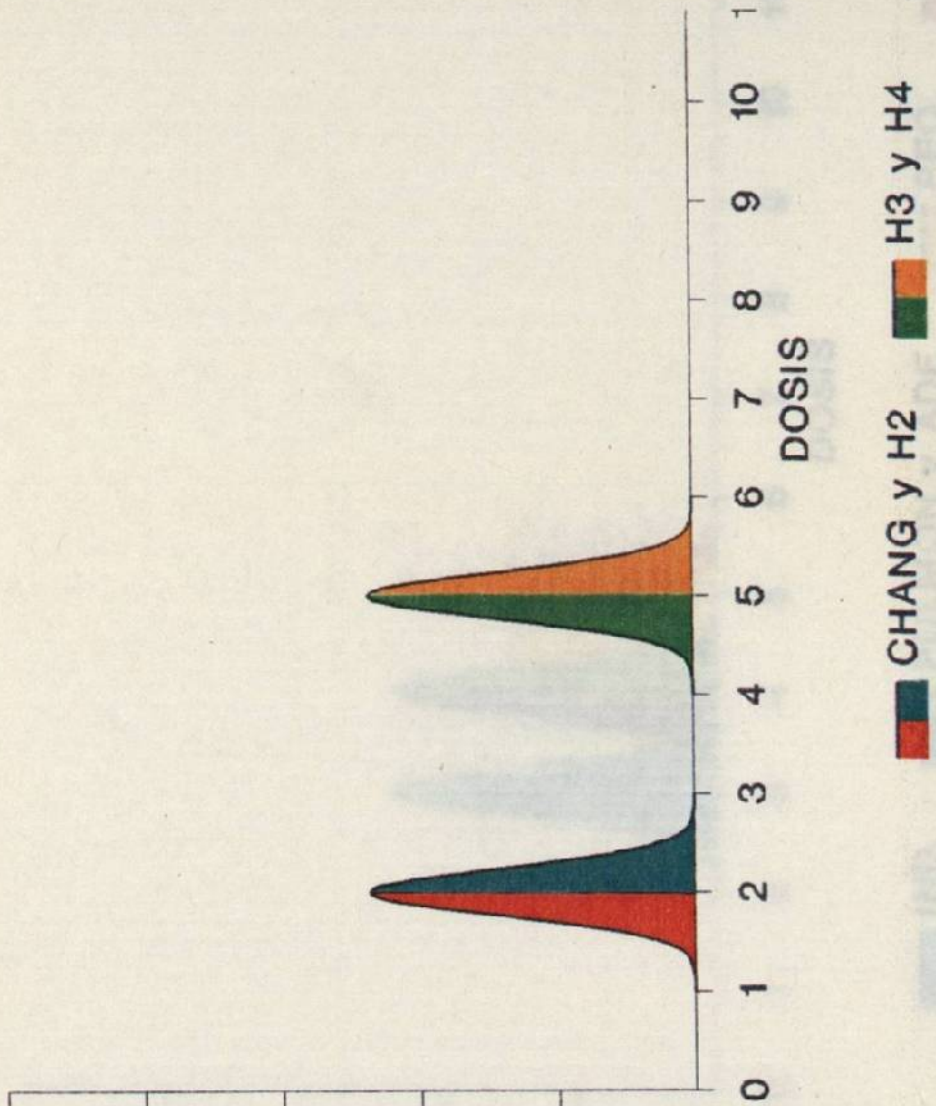
Gráfica 21. Curvas de distribución de la mortalidad en células de Pulmón de origen normal y neoplásico expuestas a 5-Fluoruracilo.

El área bajo
la curva
representa
siempre
el 100%
de la
población
celular.



Gráfica 22. Curvas de distribución de la mortalidad en células de Colon de origen normal y neoplásico expuestas a 5-Fluoruracilo.

El área bajo la curva representa siempre el 100% de la población celular.



Gráfica 23. Curvas de distribución de la mortalidad en células de Hígado de origen normal y neoplásico expuestas a Doxorrubicina.